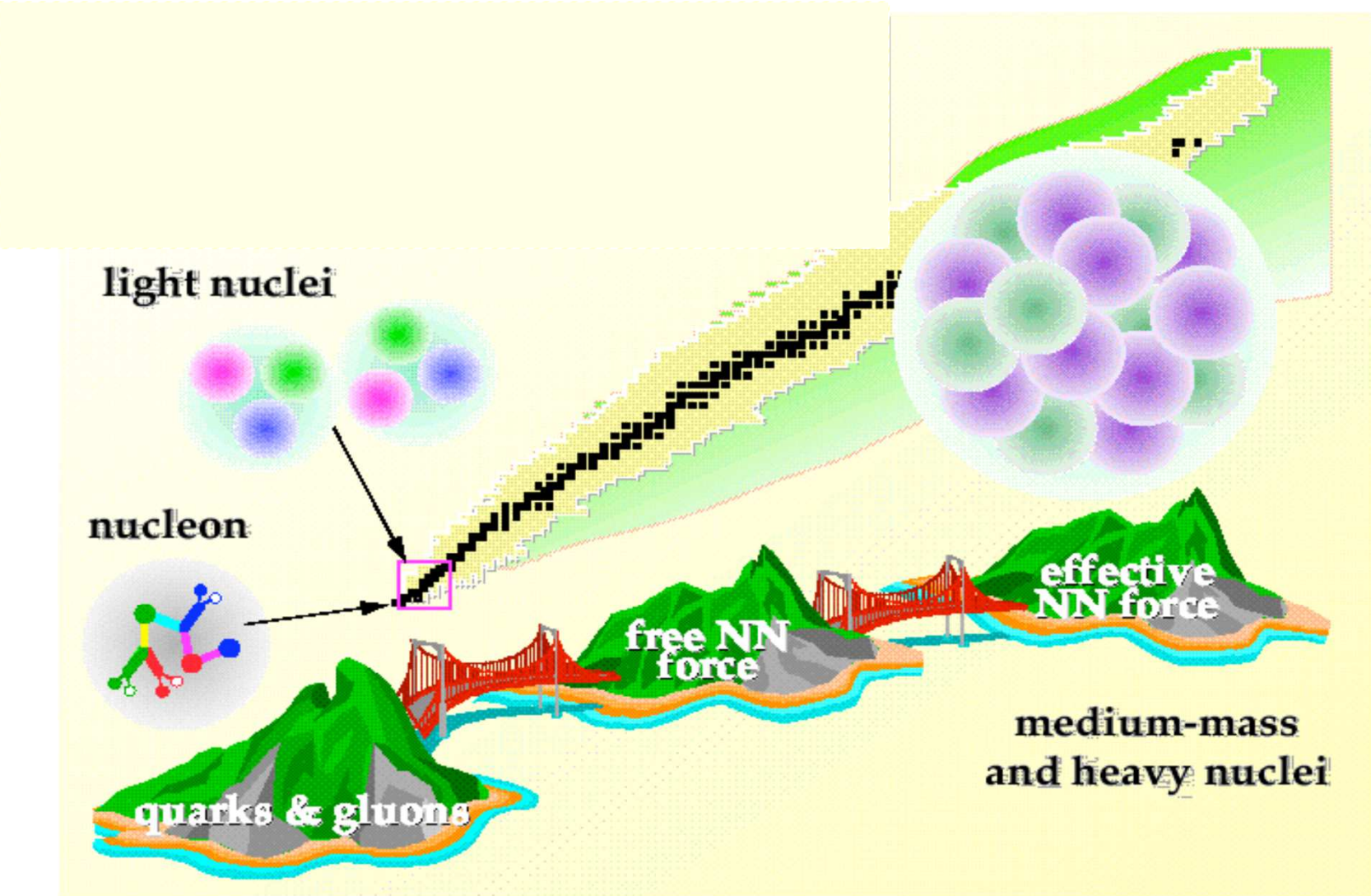


Тема 5: Ядрена физика

Domine, quo vadis? - Eo Romam iterum crucifigi.



ОРЕР (потенциал на еднопионен обмен)

1935 - Yukawa

$$V(r) = \frac{g_\pi^2 (m_\pi c^2)^3}{3 (Mc^2)^2 \hbar^2} [\vec{s}_1 \cdot \vec{s}_2 + S_{12} \left(1 + \frac{3R}{r} + \frac{3R^2}{r^2} \right)] \frac{e^{-r/R}}{r/R}$$

$$R = \hbar / m_\pi c = 1.5 \text{ fm}$$

Потенциал на Hamada-Johnston(1962)

$$V = V_C(r) + V_T(r) S_{12} + V_{LS}(r) \vec{l} \cdot \vec{s} + V_{LL}(r) L_{12}$$

$$L_{12} = (\vec{s}_1 \cdot \vec{s}_2) l^2 - \frac{1}{2} [(\vec{s}_1 \cdot \vec{l}) (\vec{s}_2 \cdot \vec{l}) + (\vec{s}_2 \cdot \vec{l}) (\vec{s}_1 \cdot \vec{l})]$$

$$V_C(r) = v_0 (\vec{\tau}_1 \cdot \vec{\tau}_2) (\vec{s}_1 \cdot \vec{s}_2) Y(x) [1 + a_C Y(x) + b_C Y^2(x)]$$

$$V_T(r) = v_0 (\vec{\tau}_1 \cdot \vec{\tau}_2) (\vec{s}_1 \cdot \vec{s}_2) Z(x) [1 + a_T Y(x) + b_T Y^2(x)]$$

$$V_{LS}(r) = g_{LS} v_0 Y^2(x) [1 + b_{LS} Y(x)]$$

$$V_{LL}(r) = g_{LL} v_0 \frac{Z(x)}{x^2} [1 + a_{LL} Y(x) + b_{LL} Y^2(x)]$$

$$v_0 = 3.65 \text{ MeV}$$

$$x = r / 1.43 \text{ fm}$$

$$Y(x) = \frac{e^{-x}}{x}$$

$$Z(x) = \left(1 + \frac{3}{x} + \frac{3}{x^2} \right) \cdot Y(x)$$

Основни свойства на ядрата

Маси и разпространение на изотопите.

Енергия на свързване.

Ядрен радиус.

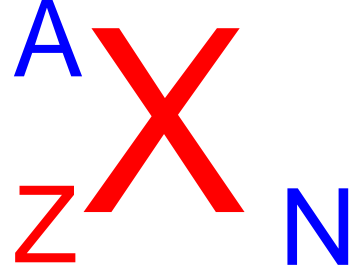
Разпределение на ядрения заряд

и ядрената материя.

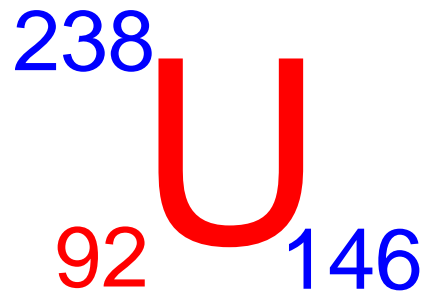
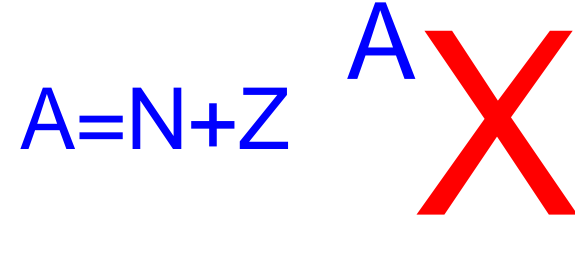
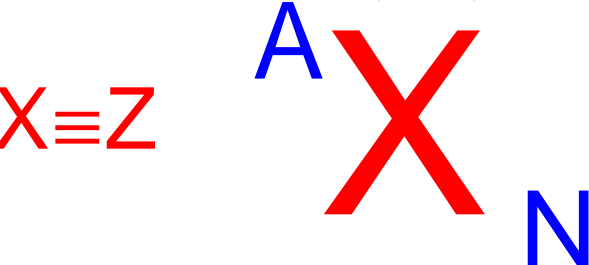
Основни означения

1932 - Chadwick – открива неутрона – **електрически неутрална частица**
с маса $m_n \approx m_p$ ($m_p = 938.272 \text{ MeV}$, $m_n = 939.566 \text{ MeV}$, $\Delta m = 1.293 \text{ MeV}$)

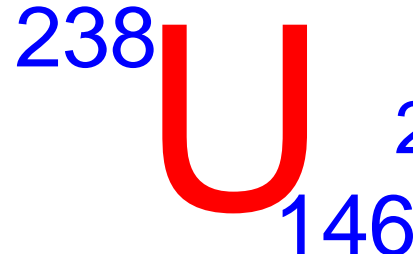
{протон, неутрон} \equiv нуклеон



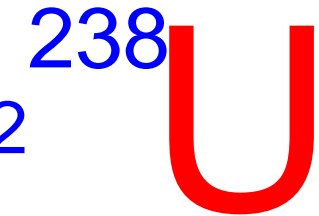
ЯДРО \equiv Z, N, A=N+Z
 $X \equiv Z$



$$U \equiv 92$$



$$238 = 146 + 92$$



Z – константа – **изотопи** (^{112}Sn , ^{114}Sn , ^{115}Sn , ^{116}Sn , ^{118}Sn , ^{120}Sn) $Z=50$

N – константа – **изотони** (^{132}Te , ^{134}Xe , ^{136}Ba , ^{138}Ce) $N = 80$

Ядрена маса и енергия на свързване

$$m(N, Z) c^2 = m_{\text{атом}} c^2 - Z m_e c^2 + \cancel{\sum_{i=1}^Z B_i^e}$$
$$B_e^e \approx 10 - 100 \text{ keV} \quad 10^{-6}$$
$$m(N, Z) = A * 1000 \text{ MeV}$$

$$B(N, Z) = \{ Z m_p + N m_n - [m_{\text{атом}} - Z m_e] \} c^2$$

$$B(N, Z) = \{ Z (m_p + m_e) + N m_n - m_A \} c^2$$

$$B(N, Z) = \{ Z m(^1H) + N m_n - m_A \} c^2$$

По дефиниция: $1 \text{ u (amu)} = 1/12 M(^{12}\text{C})$ или $M(^{12}\text{C}) = 12 \text{ u}$

$$1 \text{ u} = 1.6605 \cdot 10^{-24} \text{ g}$$

$$c^2 = 931.494 \text{ MeV/u}$$

$$m_p = 1.00782503207(10) \text{ u}$$

$$m_n = 1.0086649157(6) \text{ u}$$

Експериментално определяне на ядрените маси

Необходима точност на измерването: 1% за определяне на относителното разпространение и 10^{-6} за определяне на масата!

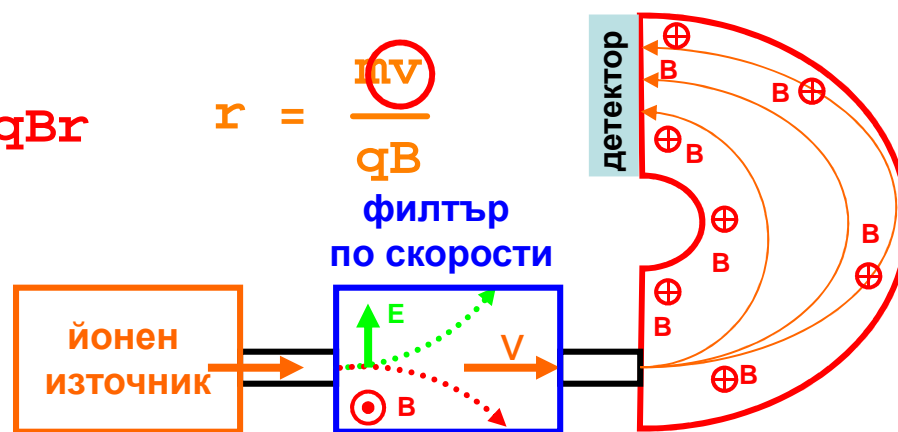
Спектроскопия по маса

$$qE = qvB \quad v = \frac{E}{B}$$

$$m = \frac{qrB^2}{E}$$

$$mv = qBr \quad r = \frac{mv}{qB}$$

филтър
по скорости



Проблем: за директно измерване е необходимо всички параметри да се калибрират с точност $10^{-6} \Rightarrow$ относителни измервания (метод на масовите дублети):

Приемаме $m(^{12}\text{C}) = 12.000000$ u

Калибрираме за маса 128

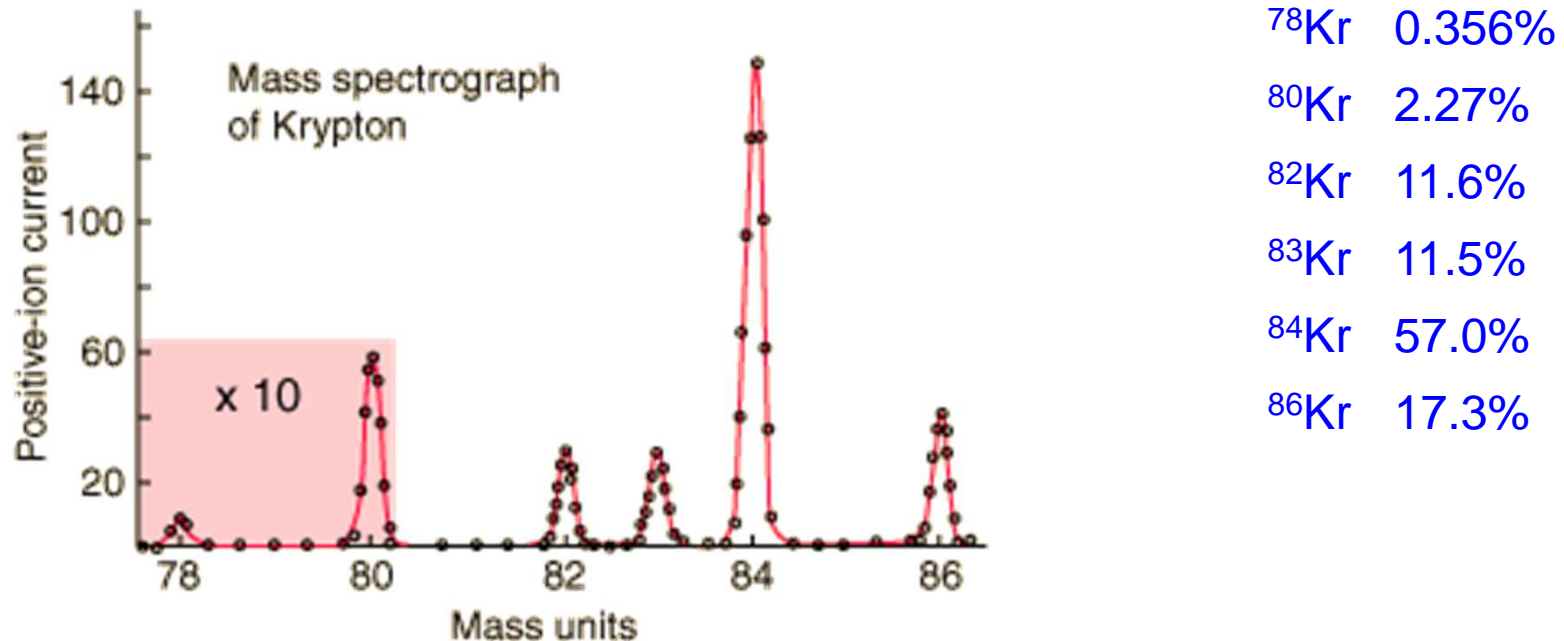
Измерваме $m(\text{C}_9\text{H}_{20})$ и $m(\text{C}_{10}\text{H}_8) \Rightarrow \Delta = 0.09390032 \pm 0.00000012$

$$\Delta = m(\text{C}_9\text{H}_{20}) - m(\text{C}_{10}\text{H}_8) = 12m(^1\text{H}) - m(^{12}\text{C}) \quad m(^1\text{H}) = (1/12)[m(^{12}\text{C}) + \Delta] = 1.00782503(1)$$

Калибрираме за маса 28 и прилагаме същата процедура за C_2H_4 и N_2

$$m(^{14}\text{N}) = 14.00307396(2)$$

Разпространение на изотопите



$$m(\text{Kr}) = 0.00356 m(^{78}\text{Kr}) + 0.0227 m(^{80}\text{Kr}) + \dots = 83.8 \text{ u}$$

Енергийен баланс при ядрени реакции



$$m(x)c^2 + m(X)c^2 + T(x) = m(Y)c^2 + m(y)c^2 + T(Y) + T(y)$$

$$Q = [m(x) + m(X) - m(Y) - m(y)]c^2$$

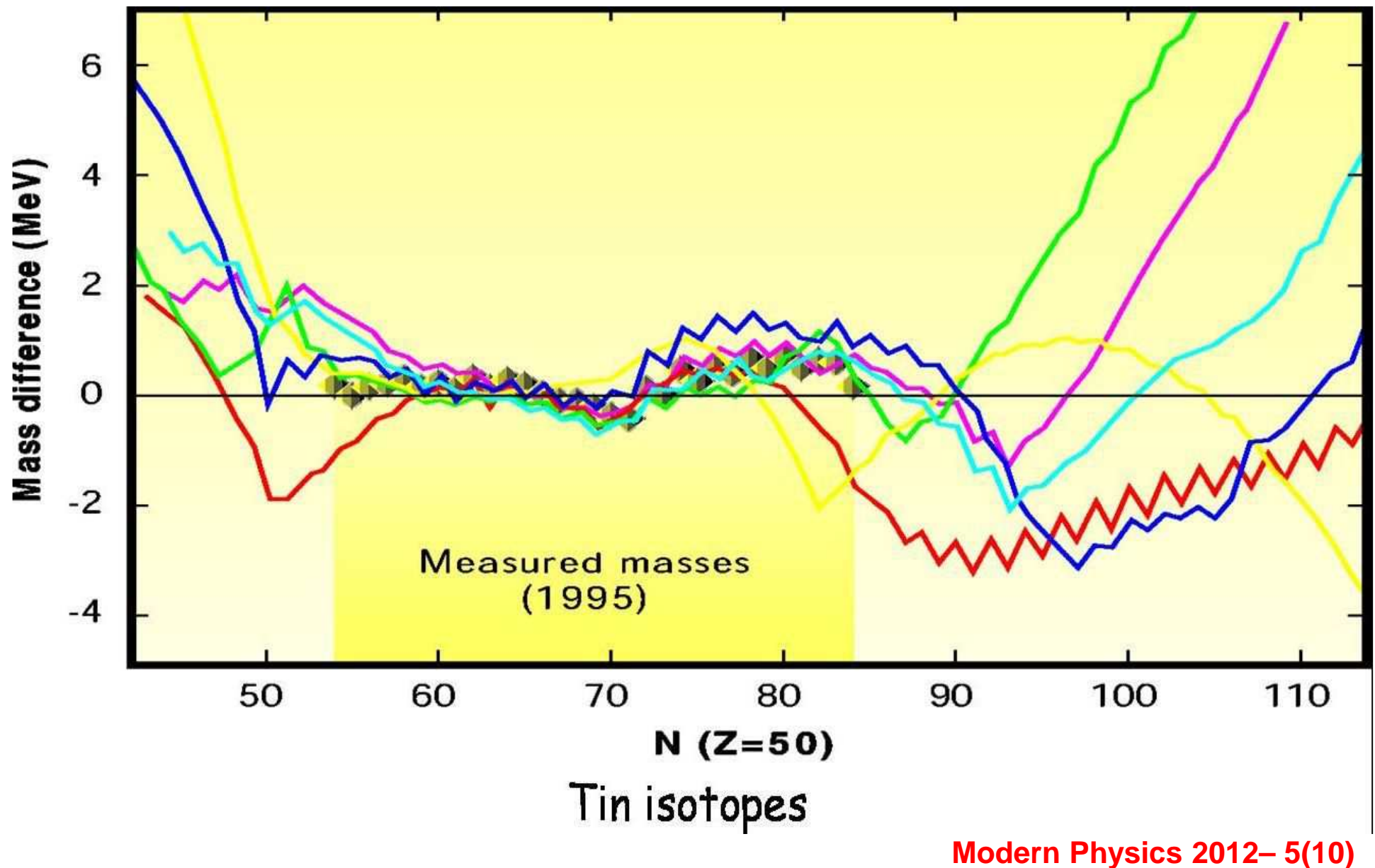


$$m(^1H) = 1.007825 \text{ u} \quad m(^{14}N) = 14.003074 \text{ u} \quad m(^3H) = 3.016049$$

$$Q = -22.1355 \text{ (10)}$$

$$m(^{12}N) = 12.018613 \text{ (1)}$$

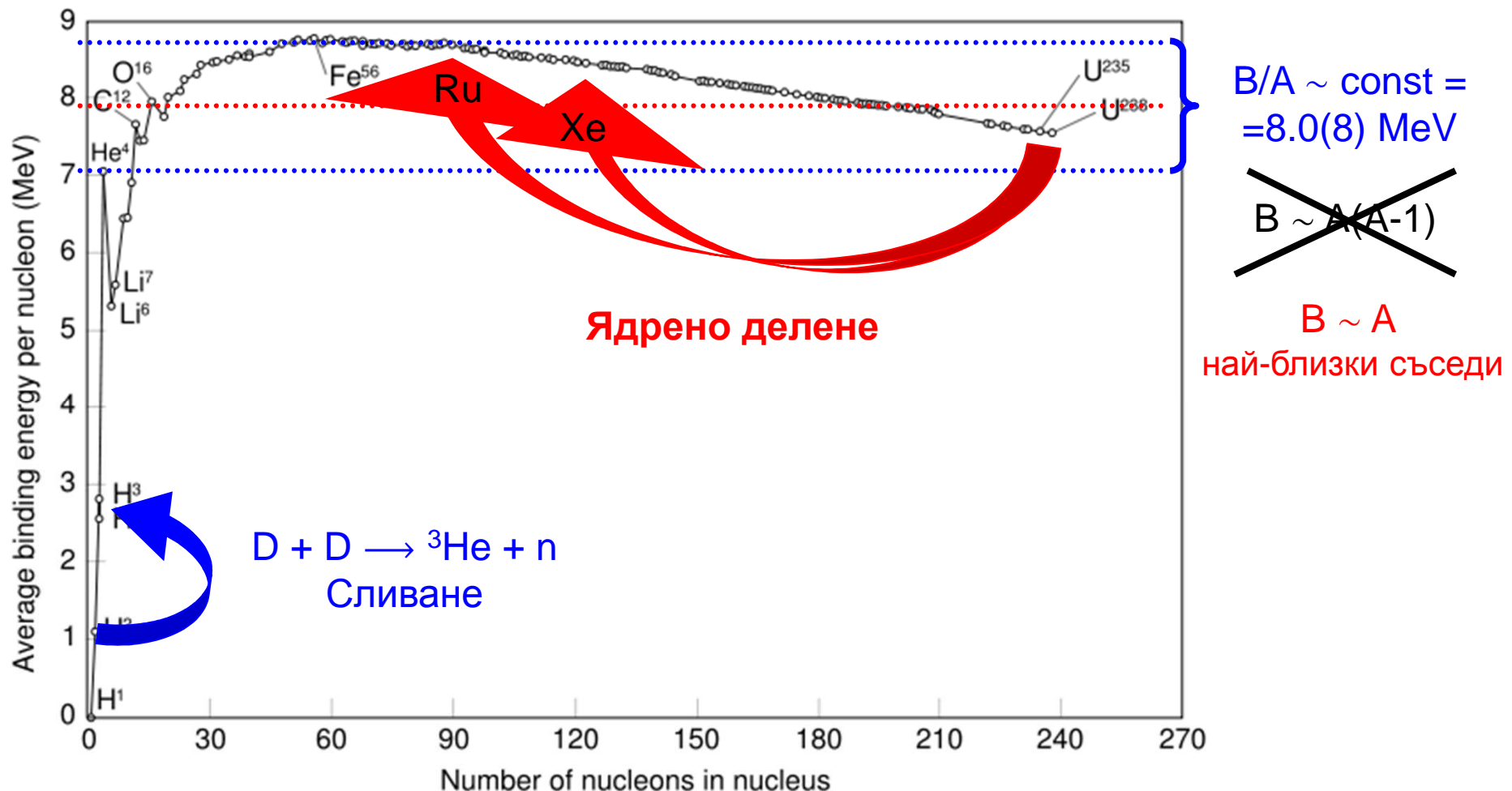
Зашо е така?



Енергия на свързване

$$m(^A_Z X_N) = [Z m(^1 H) + N m_n - \frac{1}{c^2} B(N, Z)] \quad \Delta = (Z m(^1 H) + N m_n - m(^A_Z X_N)) c^2$$

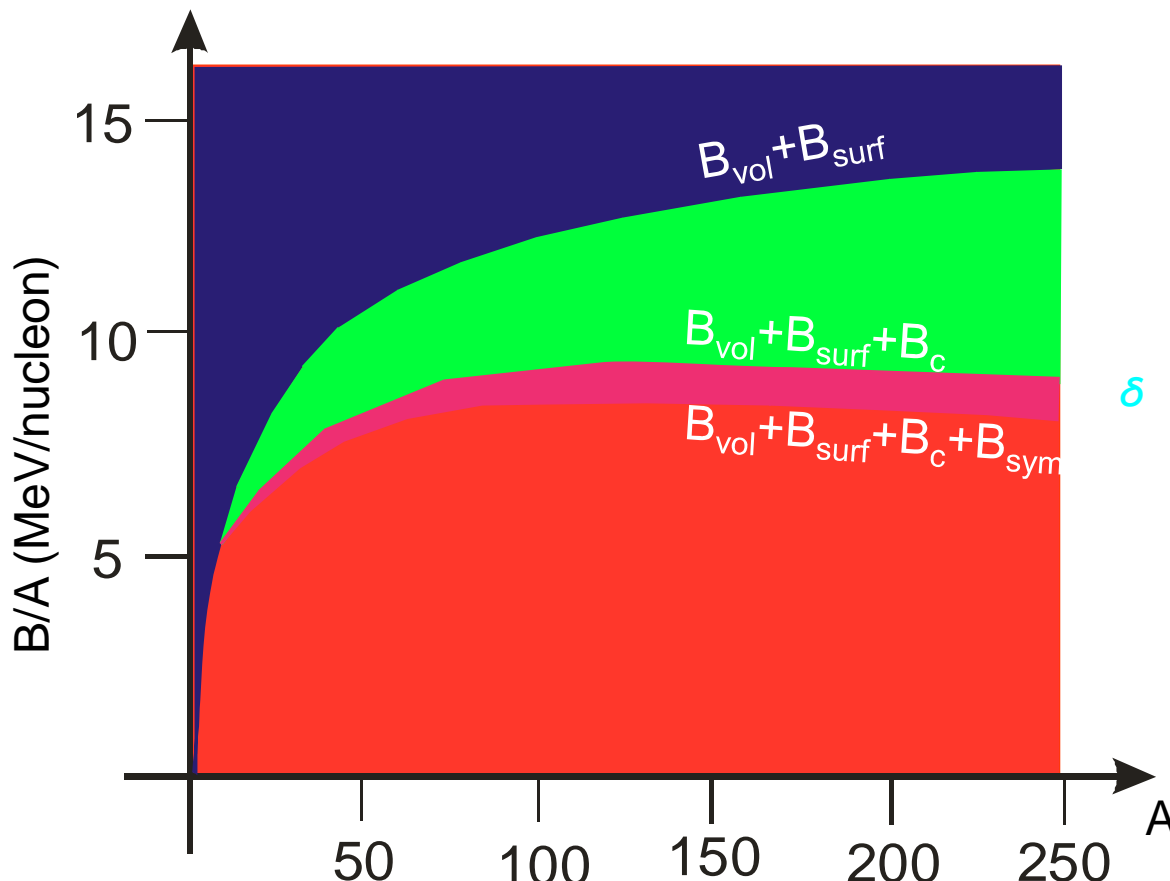
Енергетичния остатък/излишък от образуването на ядрена свързана система



Полу-емпирична масова формула

1930 Von Weizsäcker → течно-капков модел

$$B(N, Z) = \boxed{a_{vol} A}_{15.5 \text{ MeV}} - \boxed{a_{surf} A^{2/3}}_{S \sim R^2 \sim A^{2/3}, 16.8 \text{ MeV}} - \boxed{\frac{a_c}{5} \frac{Z(Z-1)}{4\pi\epsilon_0 R_0} \frac{A^{-1/3}}{Z(Z-1)}}_{0.72 \text{ MeV}} - \boxed{a_{sym} \frac{(A-2Z)^2}{A}}_{Z \sim N, 23 \text{ MeV}} + \delta$$

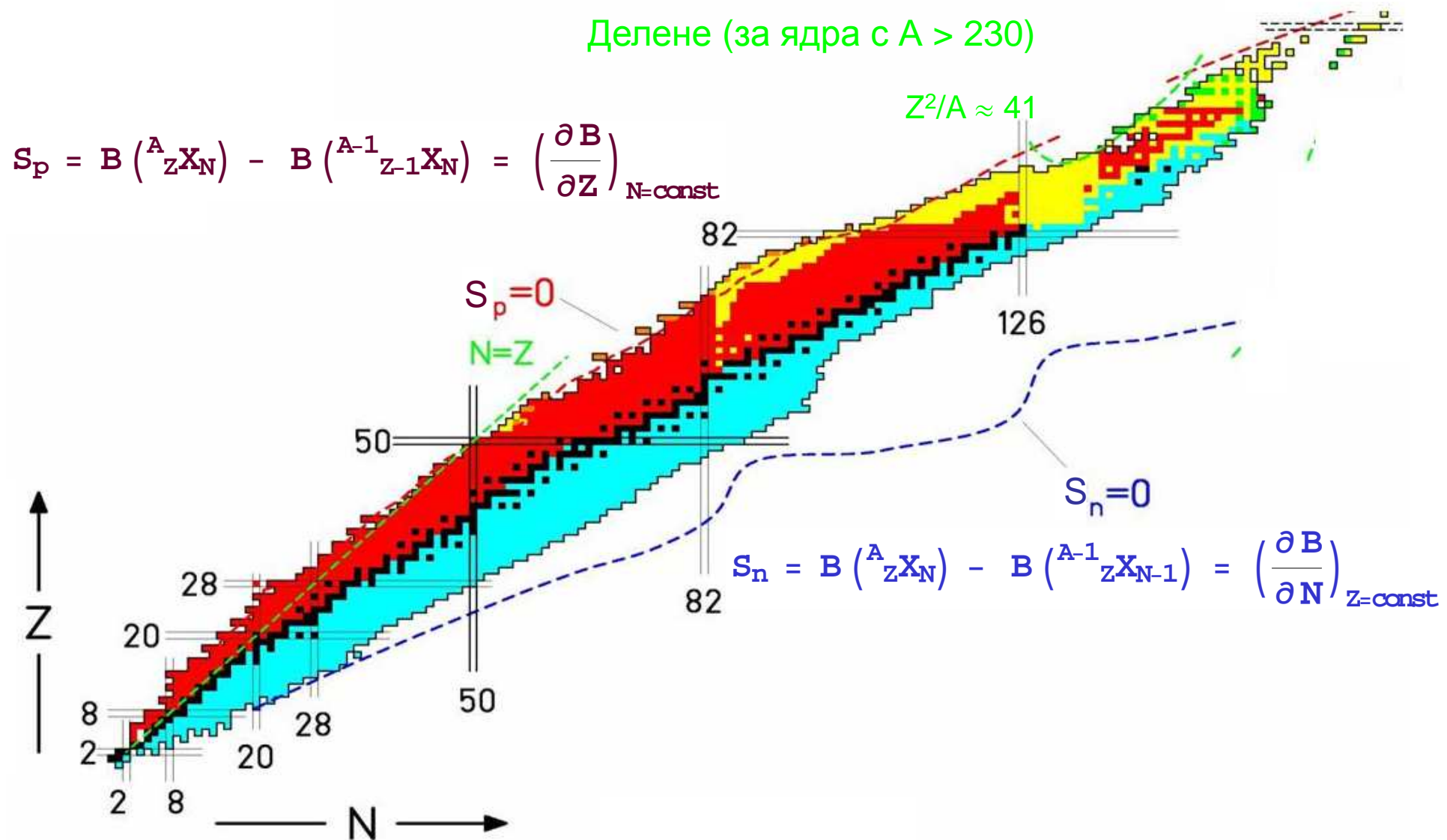


Само 4 стабилни нечетно-нечетни:
 ${}^2H, {}^6Li, {}^{10}B, {}^{14}N$

$$\delta = \begin{cases} + a_p A^{-3/4} & \text{за четни } N \text{ и } Z \\ 0 & \text{за } N \text{ или } Z \text{ нечетно} \\ - a_p A^{-3/4} & \text{за нечетни } N \text{ и } Z \end{cases}$$

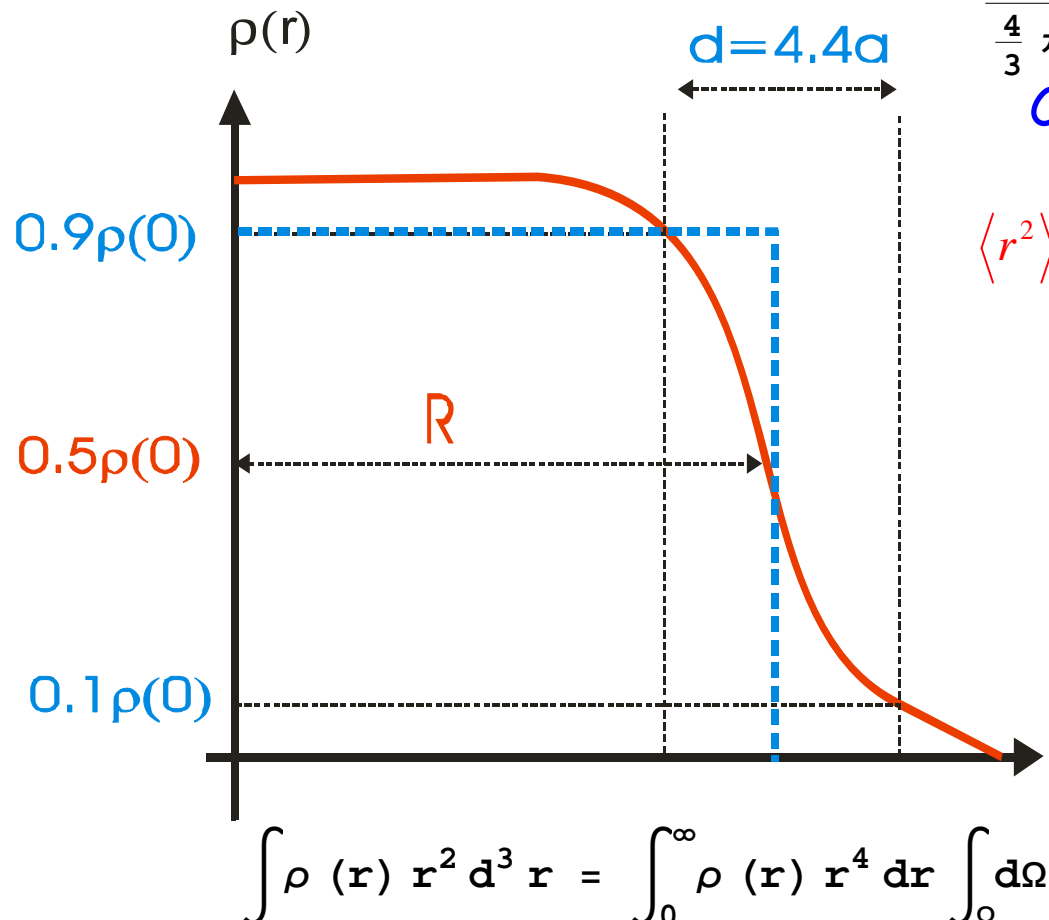
$$a_p = 34 \text{ MeV}$$

Граници на ядреното съществуване



Ядрен радиус

Функция на Ферми



$$\rho(r) = \rho(0) \left[1 + \text{Exp} \left(-\frac{r-R}{a} \right) \right]^{-1}$$

$$\frac{A}{\frac{4}{3} \pi R^3} \sim \text{constant}$$

$$R = \text{const.} \cdot A^{1/3}$$

Средно-квадратичен радиус

$$\langle r^2 \rangle = \frac{\int \rho(r) r^2 d^3r}{\int \rho(r) d^3r}$$

$$\langle r^2 \rangle^{1/2} \neq R$$

$$\rho(r) = \begin{cases} \rho_0 & r \leq R \\ 0 & r > R \end{cases}$$

$$\int \rho(r) d^3r = \int_0^\infty \rho(r) r^2 dr \int_\Omega d\Omega$$

$$= \rho_0 4 \pi \int_0^R r^2 dr = \frac{4 \pi}{3} \rho_0 R^3$$

$$\int \rho(r) r^2 d^3r = \int_0^\infty \rho(r) r^4 dr \int_\Omega d\Omega = \rho_0 4 \pi \int_0^R r^4 dr = \frac{4 \pi}{5} \rho_0 R^5$$

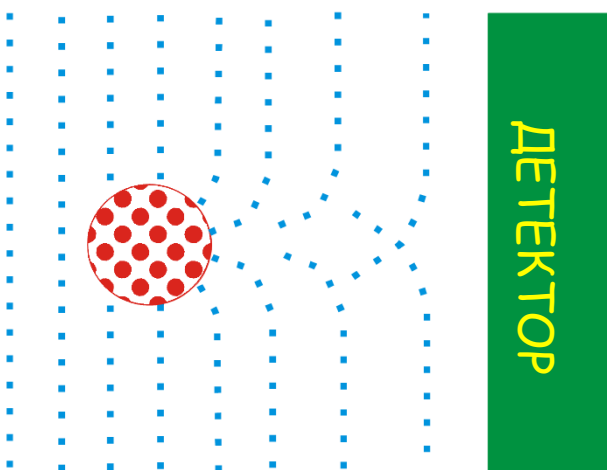
$$\langle r^2 \rangle = \frac{3}{5} R$$

$$R_{rms} = \left(\frac{5}{3} \langle r^2 \rangle \right)^{1/2}$$

$$R_{rms} \approx 1.2 \times A^{1/3} \text{ fm}$$

Експерименти по разсейване

Оптически аналог – снемане на дифракционна картина, която отразява масовото или зарядовото разпределение на ядрената материя



Фрауенхоферова дифракция_

D – диаметър на ядрото

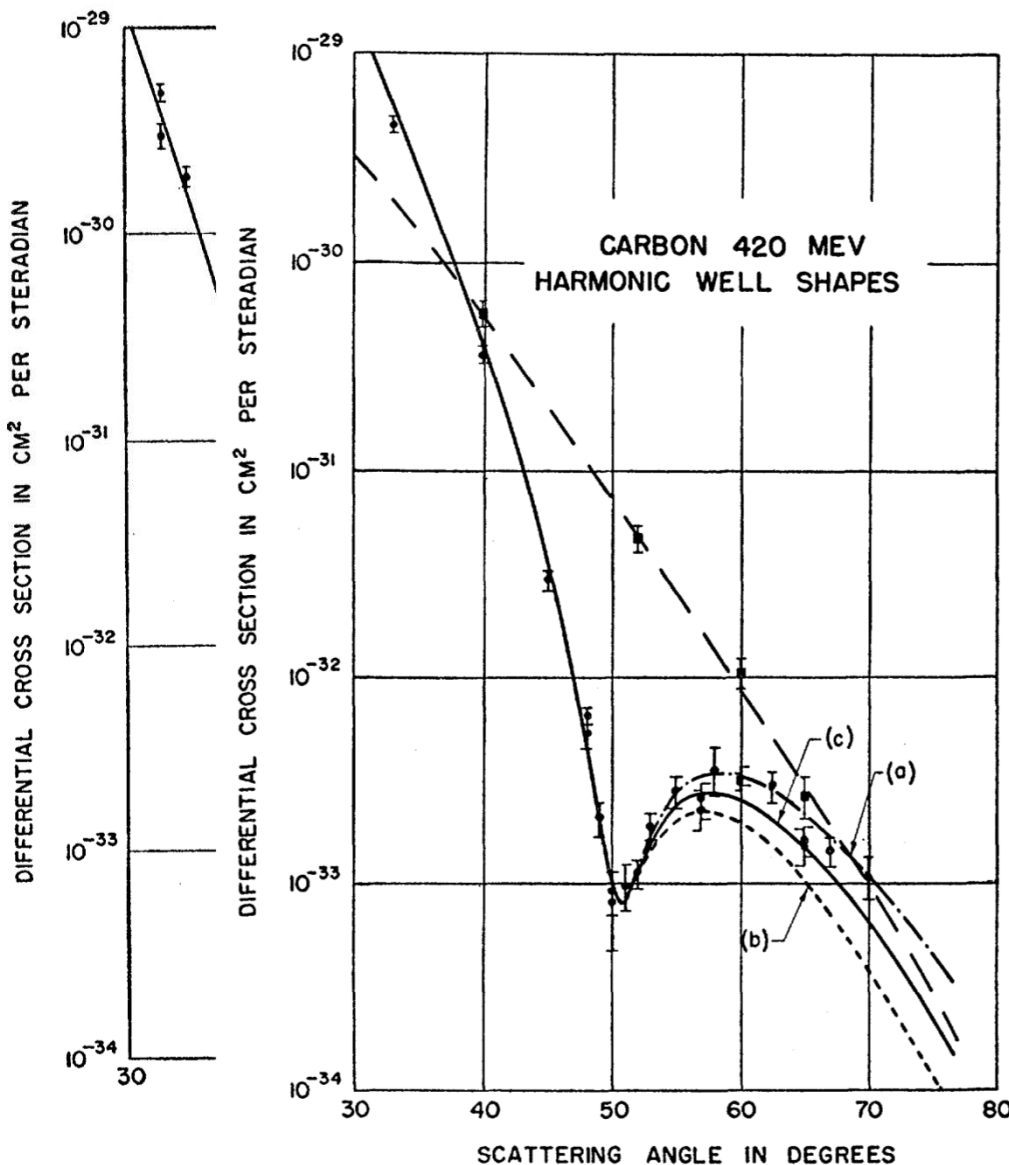
$$D \sin \Theta = m \lambda$$

	m_{minimum}	m_{maximum}
1	1.22	1.63
2	2.23	2.68
3	3.28	3.69

$$\lambda = \frac{h}{p} \leq D \quad \lambda = \frac{2 \pi (197.3)}{E_e [\text{MeV}]} [\text{fm}]$$

Обект	Скала [fm]	Енергия на електрона [MeV]
Атом	10^5	0.01
Тежко ядро (Pb)	10	100
Протон	1	1000
Кварки	0.1 ?	10000

Резултати от (e, e') експерименти



Ehrenberg et. al., Phys. Rev. 113, 666 (1959)

$$E_e = 420 \text{ MeV} \Rightarrow \lambda = 2.9 \text{ fm}$$

$$\theta = 42^\circ$$

$$D \cdot \sin(\theta) = 1.22 \lambda$$

$$D = 5.28 \text{ fm}$$

$$r(^{16}\text{O}) = 2.64 \text{ fm}$$

$$\theta = 51^\circ$$

$$D = 4.56 \text{ fm}$$

$$r(^{12}\text{C}) = 2.28 \text{ fm}$$

Modern Physics 2012–5(16)

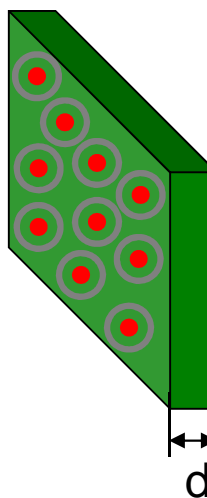
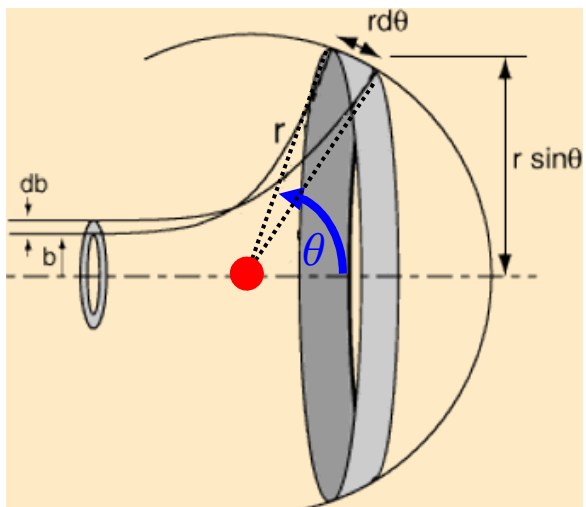
Сечение за Ръдърфордовско разсейване

$$\sin^2\left(\frac{\theta}{2}\right) = \frac{1}{1 + (2 b E / (Z z' e^2))^2}$$

$$\cot\left(\frac{\theta}{2}\right) = \frac{2 b E}{Z z' e^2}$$

$$b = \frac{Z z' e^2}{2 E} \cot\left(\frac{\theta}{2}\right)$$

- за фиксирани $\{b, E, z'\}$ ъгълът на разсейване **нараства** с нарастването на Z
- за фиксирани $\{b, Z, z'\}$ ъгълът на разсейване **намалява** с нарастването на E
- за фиксирани $\{Z, z, E\}$ ъгълът на разсейване **намалява** с нарастването на b
– **по-малки** прицелни параметри водят до **по-големи** ъгли на разсейване



Колко частици ще се разсият в пространствен ъгъл $d\Omega$?

$$(\theta, \theta - d\theta) \quad df = I_b 2 \pi b db \quad dR = nd I_b 2 \pi b db$$

$$(b, b + db) \quad \frac{dR}{d\Omega} = - \frac{nd I_b 2 \pi b db}{2 \pi \sin \theta d\theta} = - \frac{nd I_b b db}{\sin \theta d\theta}$$

$$\frac{d\sigma}{d\Omega} = - \frac{b}{\sin \theta} \frac{db}{d\theta}$$

Мишена

- разстоянието м/у ядрата е многократно по-голямо от размера им
- обемна плътност – n
- повърхностна плътност – nd
- интензивност на снопа - I_b

Приближение

Липса на многократни разсевания

$$R = I_b n d \sigma$$

σ - сечение за разсейване

$$[\sigma] = \text{barn} = 10^{-28} \text{ m}^2$$

$$\frac{dR}{d\Omega} = I_b n d \frac{d\sigma}{d\Omega}$$

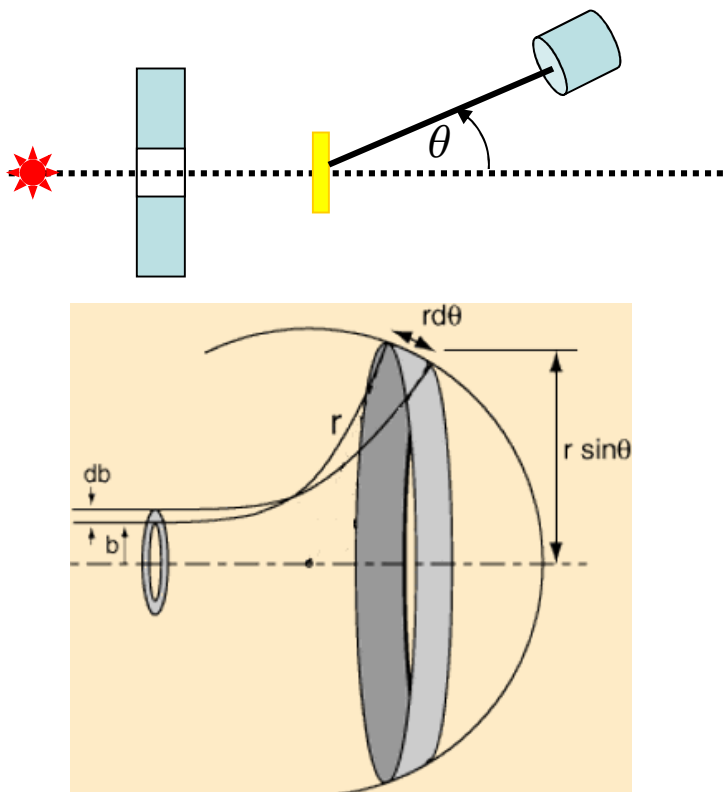
$d\sigma/d\Omega$ - диференциално сечение за разсейване

Сечение за Ръдърфордовско разсейване

$$\frac{d\sigma}{d\Omega} = \left(\frac{Zz' e^2}{4 E} \right)^2 \frac{1}{\sin^4(\theta/2)}$$

$$\frac{d\sigma}{d\Omega} = \left(\frac{Zz' e^2}{4 \pi \epsilon_0} \right)^2 \left(\frac{1}{4 E} \right)^2 \frac{1}{\sin^4(\theta/2)}$$

Измерване на диференциалното сечение



$$\frac{dR}{d\Omega} = I_b n d \frac{d\sigma}{d\Omega}$$

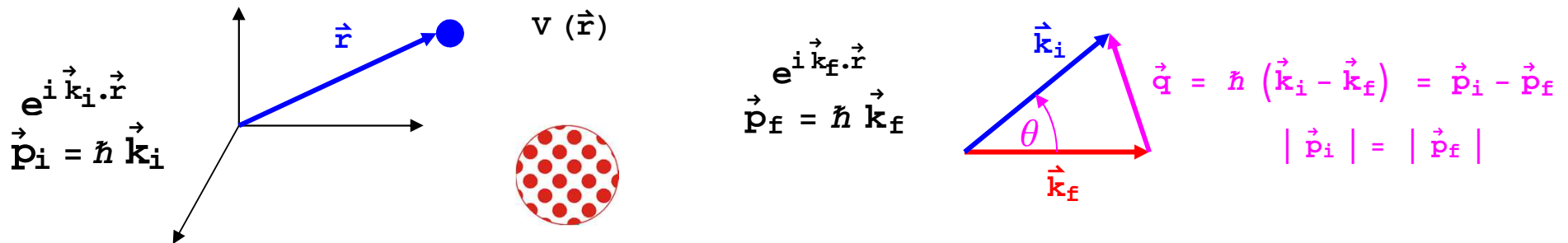
$$\frac{dR}{d\Omega} = I_b \frac{N}{S} \frac{d\sigma}{d\Omega}$$

$$N = \frac{\rho S d}{A} N_A$$

$$\frac{dR}{d\Omega} = I_b \frac{\rho d}{A} N_A \frac{d\sigma}{d\Omega}$$

$$[\rho d] = \text{mg/cm}^2$$

Еластично разсейване - квантово механично описание



Златно правило на Ферми: $\lambda (\vec{k}_i, \vec{k}_f) = \frac{2\pi}{\hbar} |M(\vec{k}_i, \vec{k}_f)|^2 \rho(E_f) (s^{-1})$

$$\equiv \langle \psi_f | V(\vec{r}) | \psi_i \rangle \equiv \langle f | V(\vec{r}) | i \rangle$$

$$M(\vec{k}_i, \vec{k}_f) = \frac{1}{V} \int \psi_f^* V(\vec{r}) \psi_i d\vec{r} = \frac{1}{V} \int e^{-i \vec{k}_f \cdot \vec{r}} V(\vec{r}) e^{i \vec{k}_i \cdot \vec{r}} d\vec{r} = \frac{1}{V} \int e^{i (\vec{k}_i - \vec{k}_f) \cdot \vec{r}} V(\vec{r}) d\vec{r}$$

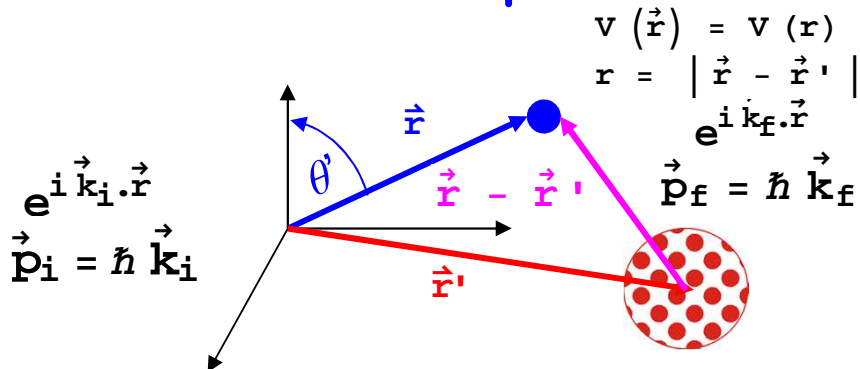
$$d\sigma(\theta, \varphi) = \frac{m^2}{\pi \hbar^4} M_{fi}^2 \frac{d\Omega}{4\pi}$$

$$\frac{d\sigma}{d\Omega}(\theta, \varphi) = \frac{m^2}{4\pi^2 \hbar^4} M_{fi}^2 = |f(\theta)|^2$$

$f(\theta)$ – амплитуда на разсейване

$$f(\theta) = \frac{m}{2\pi \hbar^2} \int V(\vec{r}) e^{\frac{i}{\hbar} \vec{q} \cdot \vec{r}} d\vec{r}$$

Еластично разсейване от централен потенциал



$$\vec{k}_i \quad \vec{q} = \hbar (\vec{k}_i - \vec{k}_f) = \vec{p}_i - \vec{p}_f \\ |\vec{p}_i| = |\vec{p}_f|$$

$$f(\theta) = \frac{m}{2\pi\hbar^2} \int v(\vec{r}) e^{\frac{i}{\hbar}\vec{q}\cdot\vec{r}} d\vec{r}$$

$$\vec{q} \cdot \vec{r} = q r \cos\theta' \quad d\vec{r} = r^2 \sin\theta' dr d\theta' d\phi \\ f(\theta) = \frac{m}{2\pi\hbar^2} \int_r v(r) r^2 dr \int_{\phi'} d\phi' \int_{\theta'} e^{\frac{i}{\hbar} q r \cos\theta' \sin\theta' d\theta'}$$

$$\int_0^\pi e^{\frac{i}{\hbar} q r \cos\theta' \sin\theta' d\theta'} = -\frac{\hbar}{iqr} \int_0^\pi e^{\frac{i}{\hbar} q r \cos\theta'} d\left(\frac{i}{\hbar} q r \cos\theta'\right) = \frac{\hbar}{iqr} \int_{-\frac{i}{\hbar} qr}^{\frac{i}{\hbar} qr} e^\xi d\xi =$$

$$= \frac{\hbar}{iqr} (2i) \frac{e^{\frac{i}{\hbar} qr} - e^{-\frac{i}{\hbar} qr}}{(2i)} = \frac{2 \sin(qr/\hbar)}{(qr/\hbar)}$$

$$f(\theta) = \frac{m}{2\pi\hbar^2} 2\pi \frac{2\hbar}{q} \int_0^\infty \frac{\sin(qr/\hbar)}{r} v(r) r^2 dr = \frac{2m}{q\hbar} \int_0^\infty \sin(qr/\hbar) v(r) r dr$$

Ръдърфордовско разсейване от точков обект

$$f(\theta) = \frac{2m}{q\hbar} \frac{Ze^2}{4\pi\epsilon_0} \int_0^\infty \sin(qr/\hbar) dr = \frac{2m}{q\hbar} \frac{Ze^2}{4\pi\epsilon_0} \lim_{a \rightarrow 0} \int_0^\infty \sin(qr/\hbar) e^{-ra} dr = \frac{2m}{q\hbar} \frac{Ze^2}{4\pi\epsilon_0} \frac{\hbar}{q} = \frac{2m}{q^2} \frac{Ze^2}{4\pi\epsilon_0}$$

$$\lim_{a \rightarrow 0} \int_0^\infty \sin(bx) e^{-ax} dx = \lim_{a \rightarrow 0} \frac{b}{a^2 + b^2} = \frac{1}{b}$$

$$\frac{d\sigma}{d\Omega} = \left(\frac{Zz' e^2}{4\pi\epsilon_0} \right)^2 \left(\frac{1}{4E} \right)^2 \frac{1}{\sin^4(\theta/2)}$$

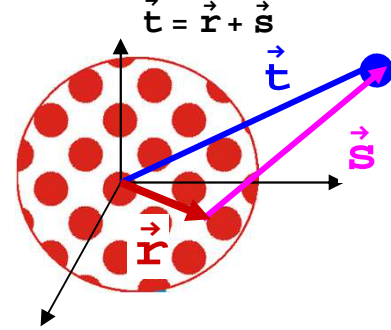
$$= \frac{4m^2}{q^4} \left(\frac{Ze^2}{4\pi\epsilon_0} \right)^2$$

$$q = 2p \sin(\theta/2)$$

$$p = |\vec{p}_i| = |\vec{p}_f|$$

$$E = p^2/2m$$

Еластично разсейване от обект с крайни размери



$$dV = \left(\frac{Ze^2}{4\pi\epsilon_0} \right) \frac{\rho(r)}{s} d\vec{r}$$

$$f(\theta) = \frac{m}{2\pi\hbar^2} \int v(\vec{r}) e^{\frac{i}{\hbar} \vec{q} \cdot \vec{r}} d\vec{r}$$

$$f(\theta) = \frac{m}{2\pi\hbar^2} \left(\frac{Ze^2}{4\pi\epsilon_0} \right) \int \int \frac{\rho(r)}{s} e^{\frac{i}{\hbar} \vec{q} \cdot \vec{r}} d\vec{t} d\vec{s}$$

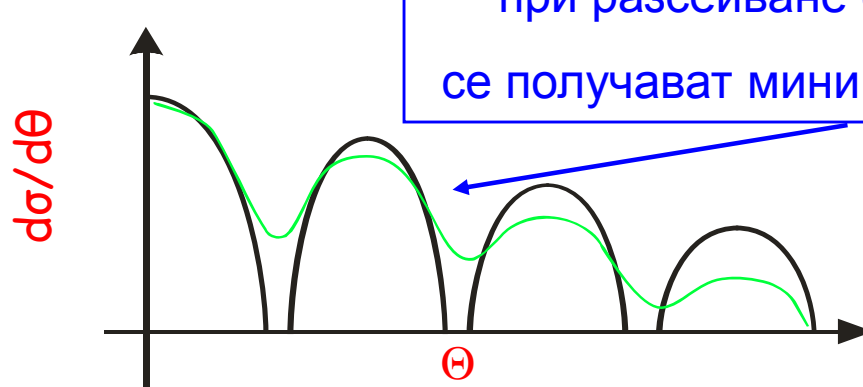
$$= \frac{m}{2\pi\hbar^2} \left(\frac{Ze^2}{4\pi\epsilon_0} \right) \int \int \frac{\rho(r)}{s} e^{\frac{i}{\hbar} \vec{q} \cdot (\vec{r} + \vec{s})} d\vec{r} d\vec{s}$$

$$= \int_0^\infty \rho(r) \frac{\sin(qr/\hbar)}{(qr/\hbar)} 4\pi r^2 dr \times \frac{2m}{q\hbar} \left(\frac{Ze^2}{4\pi\epsilon_0} \right) \int_0^\infty \frac{e^{i\vec{q} \cdot \vec{s}}}{s} ds$$

$F(q)$ $f(\theta)_{Ruth}$

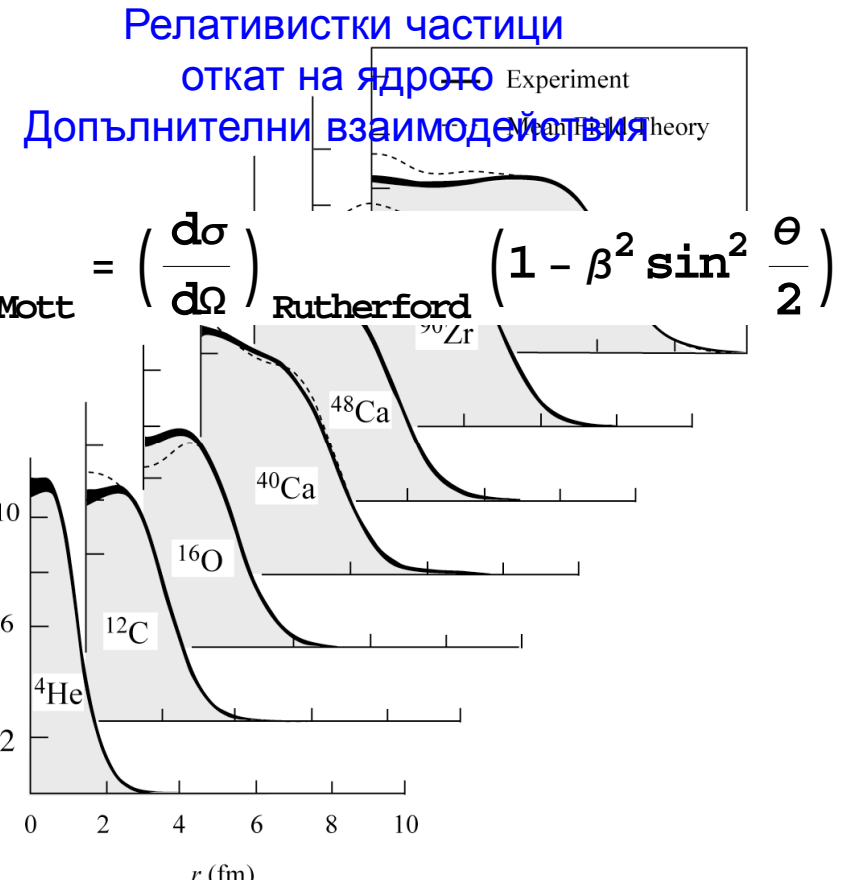
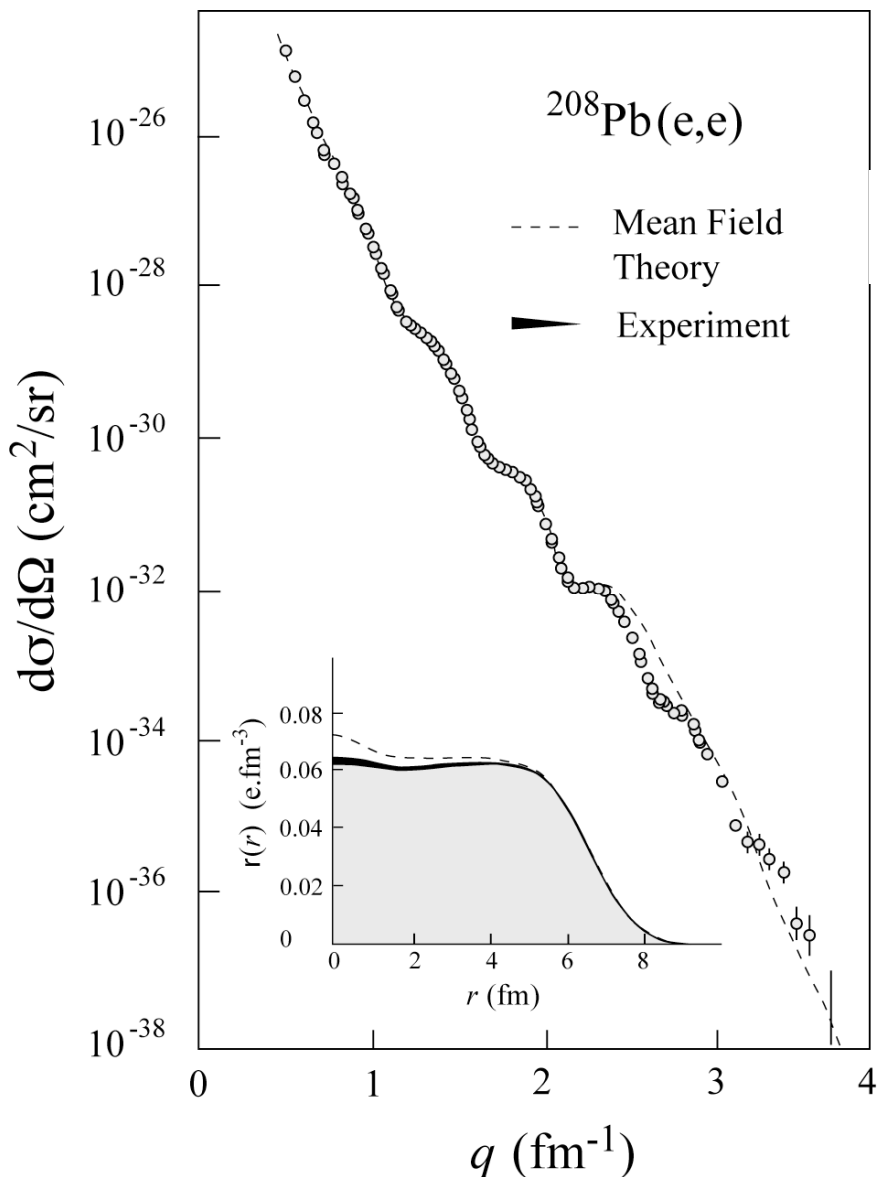
$$\frac{d\sigma}{d\Omega} = |f(\theta)|^2 = F^2(q) \left(\frac{d\sigma}{d\Omega} \right)_{Ruth}$$

Фурье образ на ядрената зарядова плътност
 $F(q)$ – ядрен форм-фактор



при разсейване от твърда сфера
 се получават минимуми и максимуми.

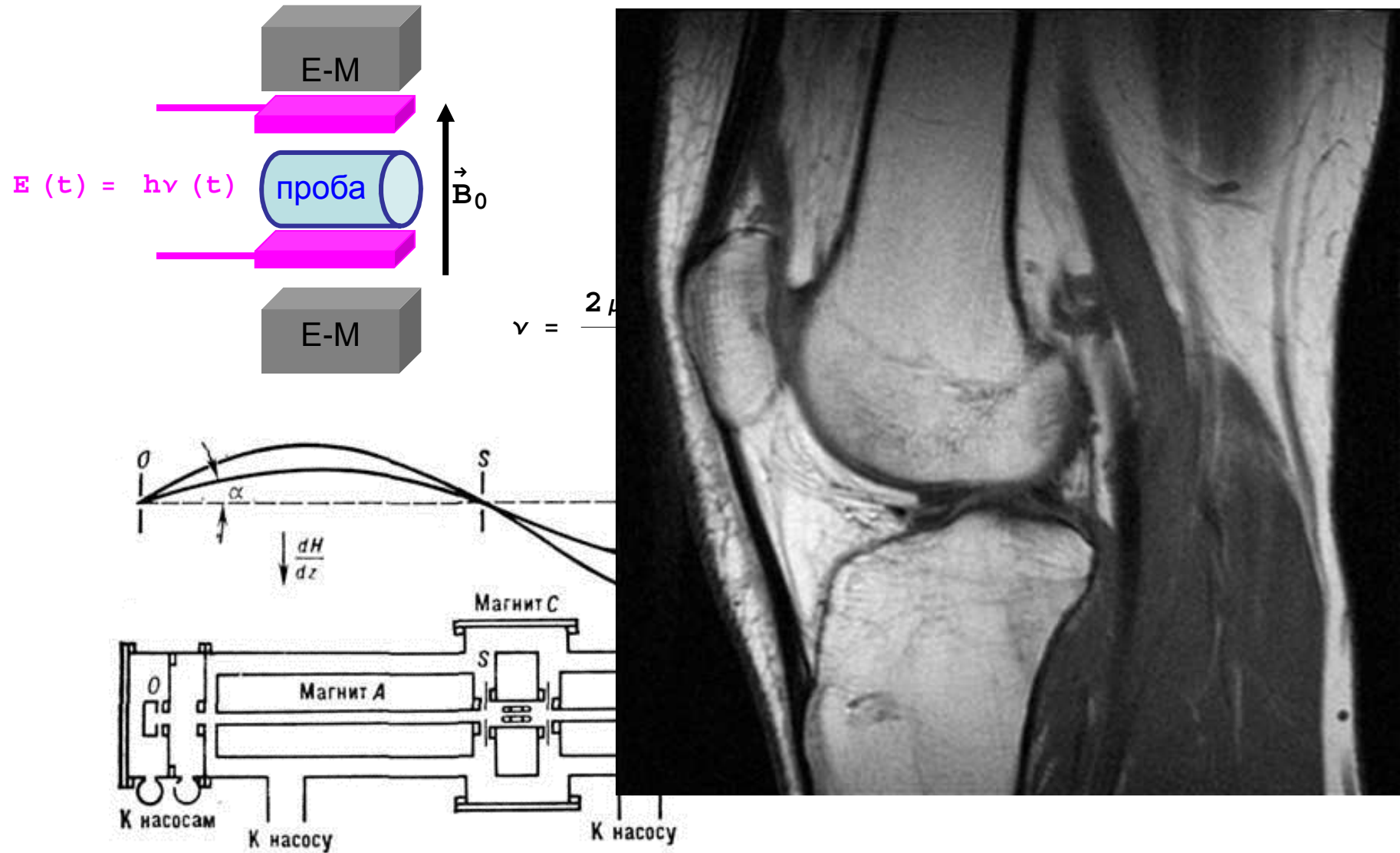
Резултати от (e,e') експерименти



$$R = 1.23(1)A^{1/3} [\text{fm}]$$

$$d \approx 2.3 \text{ fm}$$

Резонансен метод на Раби и ядрен магнитен резонанс



Радиоактивно разпадане

Свързани разпади.

Естествена радиоактивност.

Приложения.

Радиоактивност

➤ α разпад - $A_Z X_N \rightarrow A-4_{Z-2} Y_{N-2} + {}^4_2 He_2$: $E_\alpha \approx 5 \text{ MeV}$,

➤ β разпад - $A_Z X_N \rightarrow A_{Z+1} Y_{N-1} + e^- + \bar{\nu}_e$ β - минус

$A_Z X_N \rightarrow A_{Z-1} Y_{N+1} + e^+ + \nu_e$ β - плюс

$A_Z X_N + e^- \rightarrow A_{Z-1} Y_{N+1} + \nu_e$ ЕЗ $E_\beta \leq 1 \text{ MeV}$

➤ γ разпад - електромагнитно лъчение $E_\gamma \approx 0.05 \div 20 \text{ MeV}$

➤ спонтанно делене - $A_X \rightarrow A^1 Y + A^2 Z + Nn$, $A > 230$

➤ редки разпади - с излъчване на един или два протона (${}^{113}Cs \rightarrow {}^{112}Xe + p$),
неутрон (${}^{13}Be \rightarrow {}^{12}Be + n$), ядрени клъстери 8Be , ${}^{12}C$, ${}^{16}O$ (${}^{114}Ba \rightarrow {}^{102}Sn + {}^{12}C$);

Произход

Естествена радиоактивност:

1) Радиоактивни изотопи, оцелели от момента на формиране на планетата ($4.6 \times 10^9 \text{ y}$):

18 със $Z < 80$ ${}^{40}K$ ($1.28 \times 10^8 \text{ y}$)

45 със $Z > 80$ ${}^{238}U$ ($4.46 \times 10^9 \text{ y}$), ${}^{232}Th$ ($1.41 \times 10^{10} \text{ y}$), ${}^{235}U$ ($7.03 \times 10^8 \text{ y}$)

2) Радиоактивни изотопи, които се произвеждат непрекъснато: ${}^{14}N + n \rightarrow {}^{14}C + p$

Изкуствена радиоактивност:

${}^4He + {}^{27}Al \rightarrow {}^{30}P + p$ (Joliot-Curie, Нобелова награда за химия 1935)

Закон за радиоактивното разпадане

Ядрата се разпадат по статистически закон – може да се предсказва поведението на ансамбъл от ядра, но е невъзможно да се каже точно кога дадено ядро ще се разпадне.

Ако в момента t имаме N ядра и нямаме външен принос на ядра, то:

$$\lambda = - \frac{(dN / dt)}{N}$$

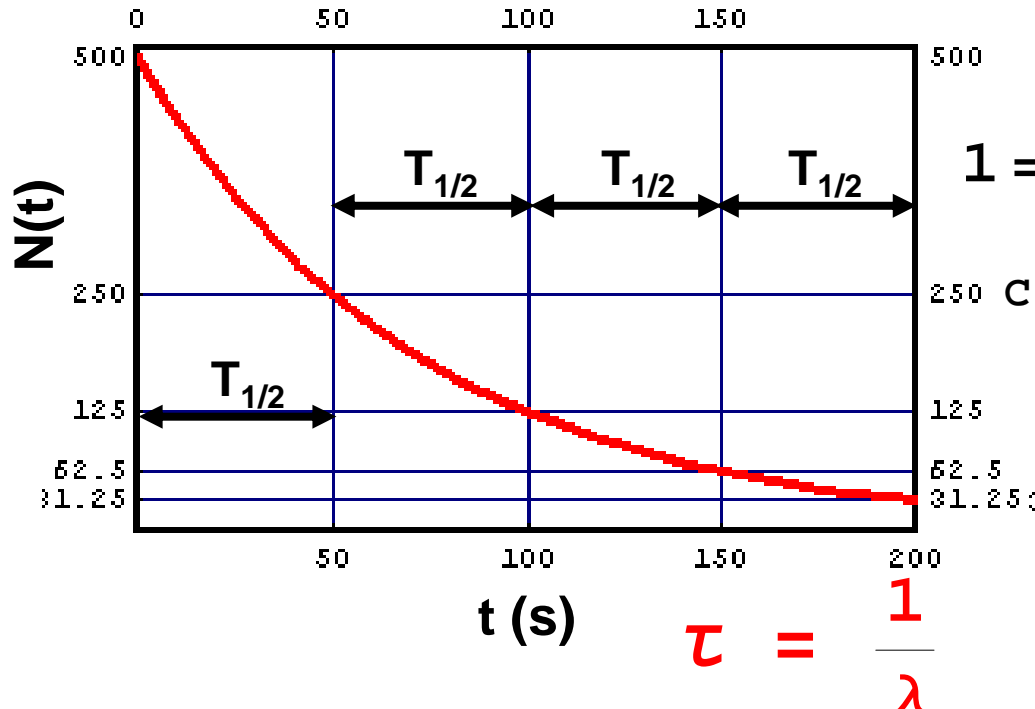
Вероятността за разпадане за единица време на едно ядро е константа, която не зависи от възрастта на ядрото.

$$N(t) = N_0 e^{-\lambda t}$$

$$\frac{1}{2} = \frac{N(T_{1/2})}{N_0} = e^{-\lambda T_{1/2}}$$

$$T_{1/2} = \frac{\ln 2}{\lambda}$$

Време на живот - средното време, през което ядрото оцелява



$$N(t) \quad P(t) = C N(t)$$

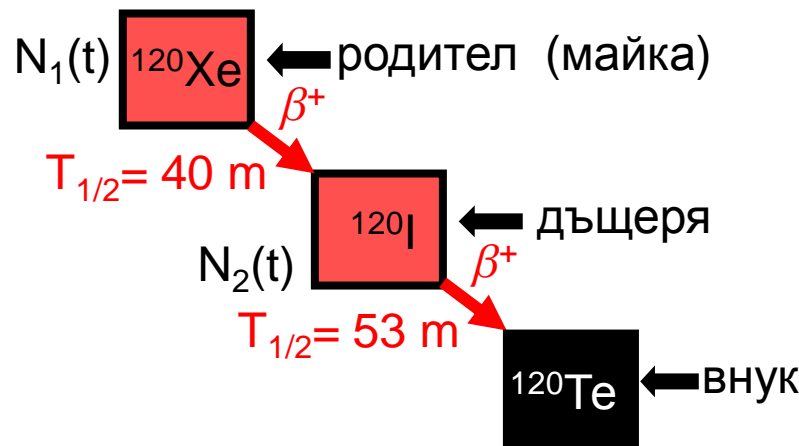
$$1 = \int_0^\infty P(t) dt = C N_0 \int_0^\infty e^{-\lambda t} dt = \frac{C N_0}{\lambda}$$

$$C = \frac{\lambda}{N_0} \quad P(t) = \frac{\lambda}{N_0} N(t) = \lambda e^{-\lambda t}$$

$$\tau = \int_0^\infty t P(t) dt =$$

$$= \lambda \int_0^\infty t e^{-\lambda t} dt = 1/\lambda$$

Две последователни разпадания



$$N_1(t = 0) = N_0$$

$$N_2(t = 0) = 0$$

$$dN_1 = -\lambda_1 N_1 dt$$

$$dN_2 = \lambda_1 N_1 dt - \lambda_2 N_2 dt$$

$$N_1(t) = N_0 e^{-\lambda_1 t}$$

$$N_2(t) = A e^{-\lambda_1 t} + B e^{-\lambda_2 t}$$

$$N_2(0) = 0 = A + B$$

$$A = -B$$

$$\frac{dN_2(t)}{dt} = \lambda_1 (N_0 e^{-\lambda_1 t}) - \lambda_2 (A e^{-\lambda_1 t} + B e^{-\lambda_2 t})$$

$$= -\lambda_1 A e^{-\lambda_1 t} - \lambda_2 B e^{-\lambda_2 t}$$

$$A = \frac{\lambda_1}{\lambda_2 - \lambda_1} N_0$$

$$N_2(t) = N_0 \frac{\lambda_1}{\lambda_2 - \lambda_1} (e^{-\lambda_1 t} - e^{-\lambda_2 t})$$

$$\lambda_2 = 0 (\tau \rightarrow \infty)$$

$$N_2(t) = N_0 (1 - e^{-\lambda_1 t})$$

Две последовательни разпадания $\lambda_1 \ll \lambda_2$

$$\lambda_1 \ll \lambda_2$$

$$\tau_1 \gg \tau_2$$

$$N_2(t) = N_0 \frac{\lambda_1}{\lambda_2} (1 - e^{-\lambda_2 t})$$



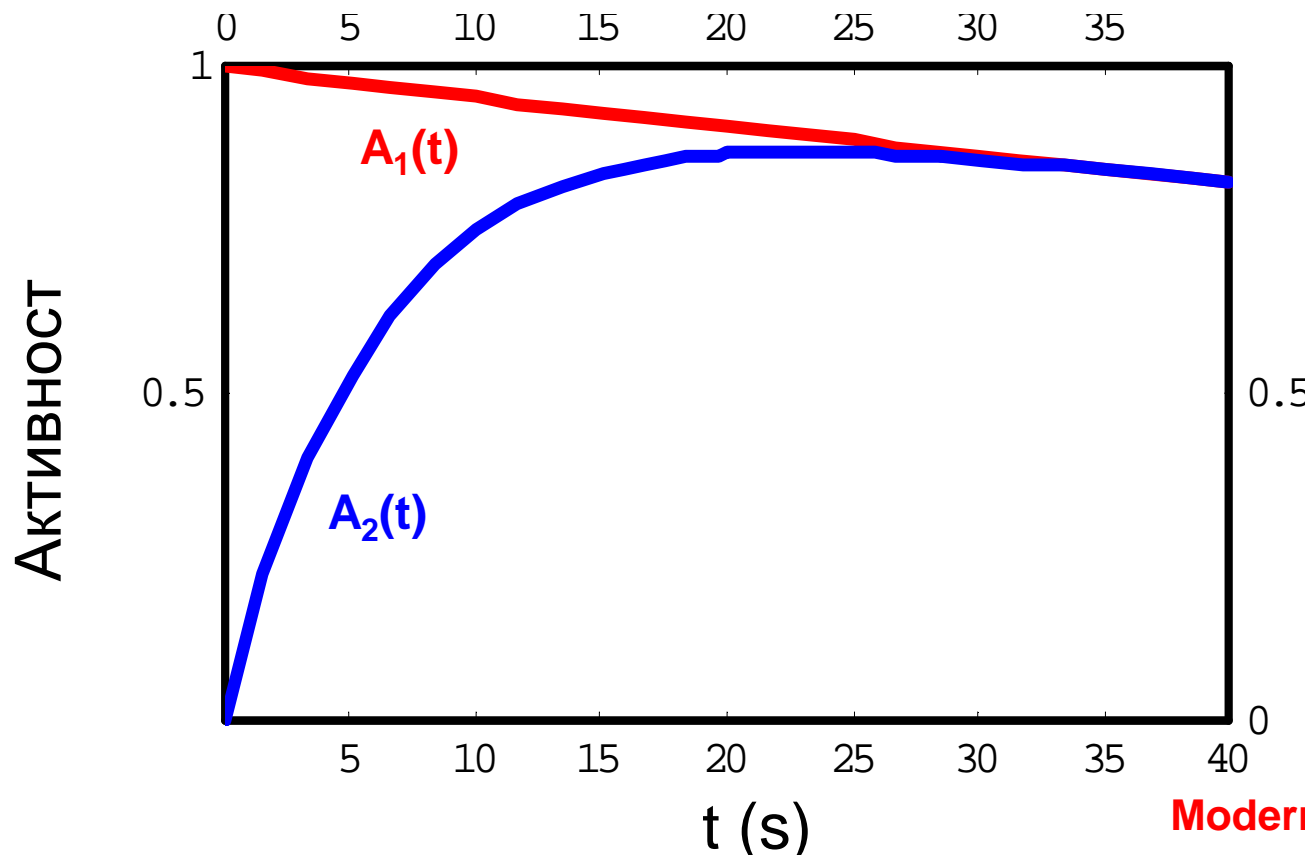
$$\frac{dN_1}{dt} = \text{const}$$

$$e^{-\lambda_1 t} \approx 1$$

$$A_2(t) = A_1 (1 - e^{-\lambda_2 t})$$



$A_2 \rightarrow A_1$
равновесие

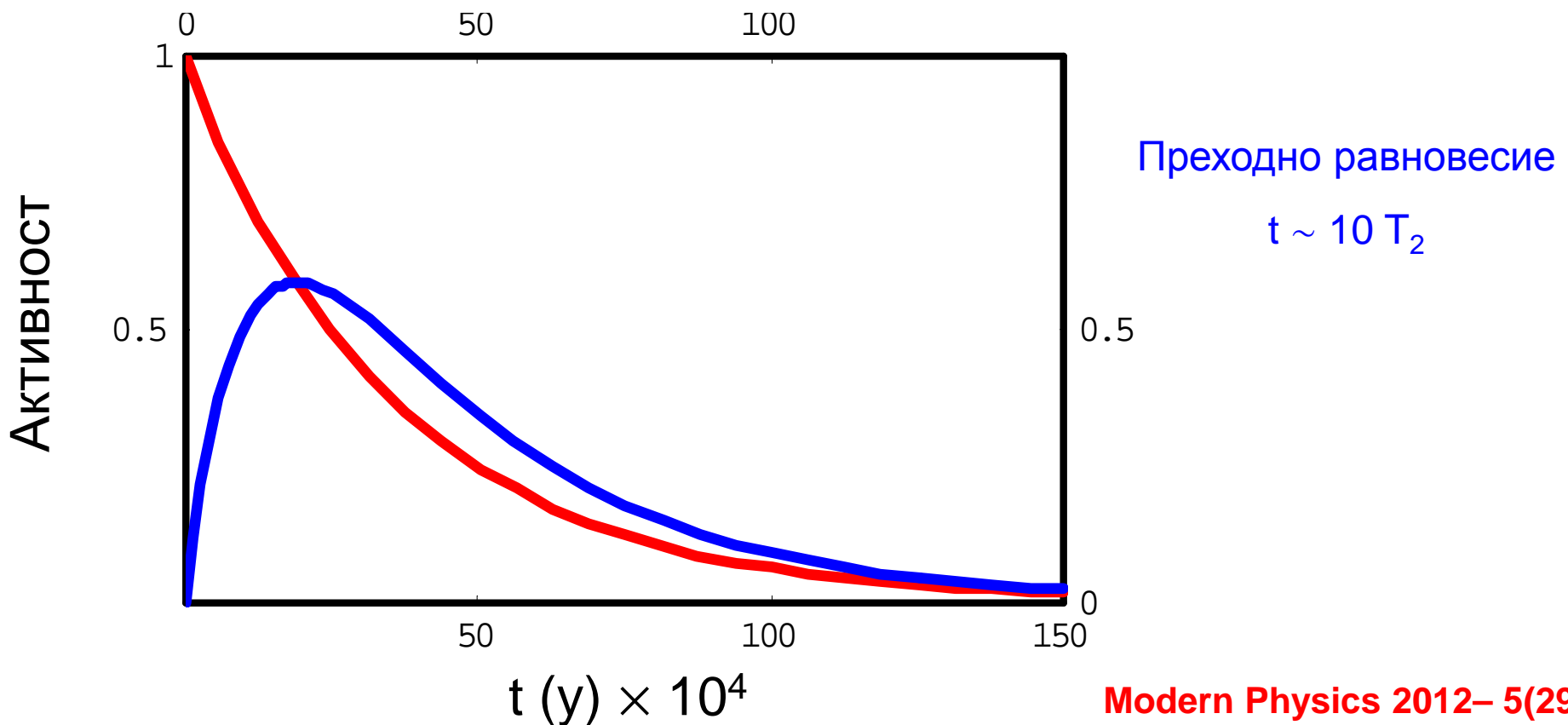


Две последовательни разпадания $\lambda_1 < \lambda_2$

$$N_1(t) = N_0 e^{-\lambda_1 t}$$

$$N_2(t) = N_0 \frac{\lambda_1}{\lambda_2 - \lambda_1} (e^{-\lambda_1 t} - e^{-\lambda_2 t})$$

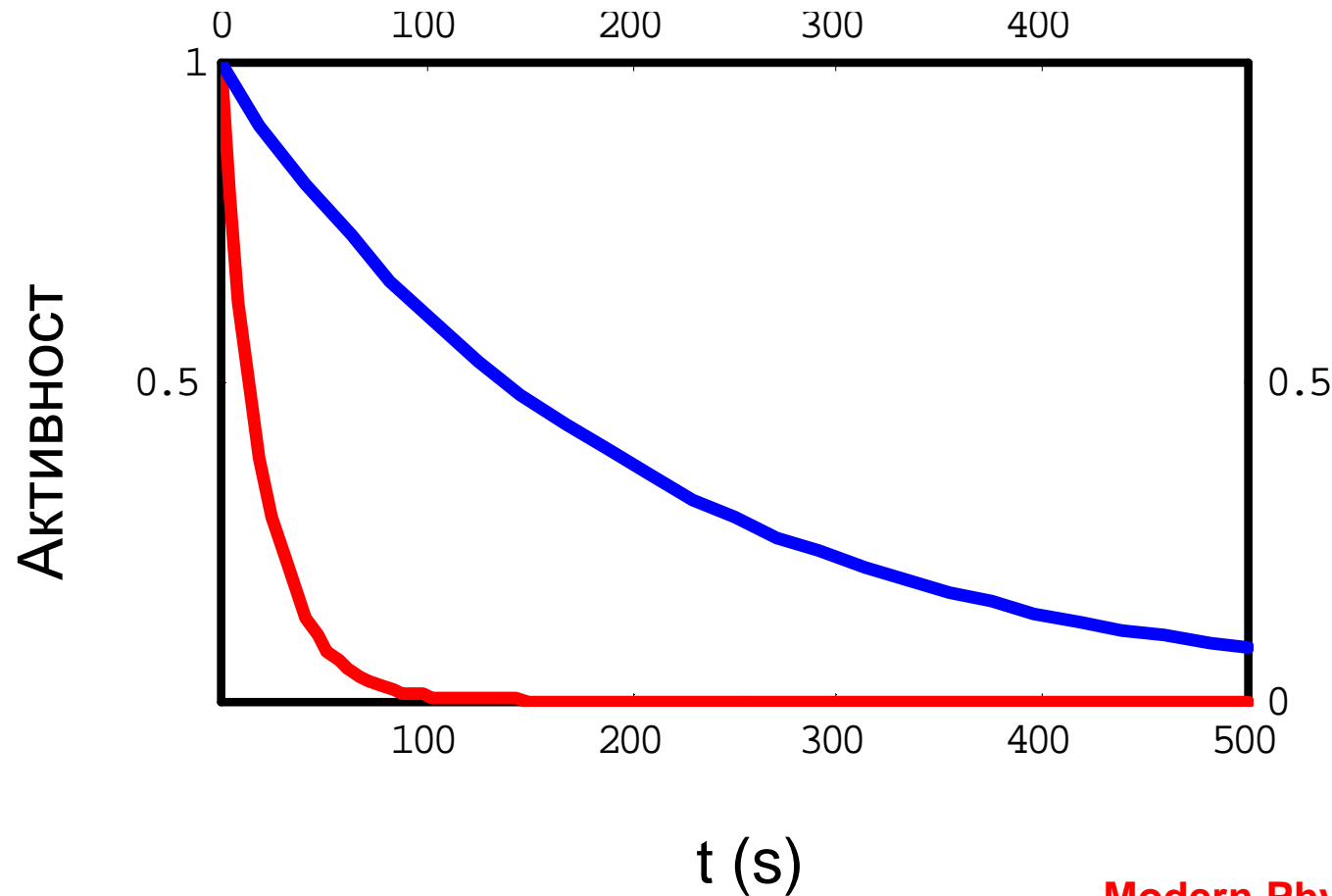
$$\frac{\lambda_2 N_2(t)}{\lambda_1 N_1(t)} = \frac{\lambda_2}{\lambda_2 - \lambda_1} (1 - e^{-(\lambda_2 - \lambda_1)t})$$



Две последователни разпадания $\lambda_1 > \lambda_2$

$$N_2(t) = N_0 \frac{\lambda_1}{\lambda_2 - \lambda_1} (e^{-\lambda_1 t} - e^{-\lambda_2 t})$$

$$N_2(t) = N_0 \frac{\lambda_1}{\lambda_1 - \lambda_2} e^{-\lambda_2 t}$$



N последователни разпадания

$$dN_1 = -\lambda_1 N_1 dt$$

$$dN_2 = \lambda_1 N_1 dt - \lambda_2 N_2 dt$$

$$dN_3 = \lambda_2 N_2 dt - \lambda_3 N_3 dt$$

... ...

$$dN_N = \lambda_{N-1} N_{N-1} dt - \lambda_N N_N dt$$

$$N_N(t) = \sum_{i=1}^N C_i e^{-\lambda_i t}$$

$$\begin{aligned} N_1(0) &= N_0 \\ N_2(0) &= N_3(0) = \dots N_N(t) = 0 \end{aligned}$$

Dobromir S. Pressyanov (*Faculty of Physics, St. Kliment Ohridski University of Sofia*), [Short solution of the radioactive decay chain equations](#), Am. J. Phys. 70 (2002) 444-445

$$C_m = \frac{\prod_{i=1}^{N-1} \lambda_i}{\prod_{i \neq m=1}^N (\lambda_i - \lambda_m)} = \frac{\lambda_1 \lambda_2 \lambda_3 \dots \lambda_{N-1}}{(\lambda_1 - \lambda_m) (\lambda_2 - \lambda_m) \dots (\lambda_N - \lambda_m)}$$

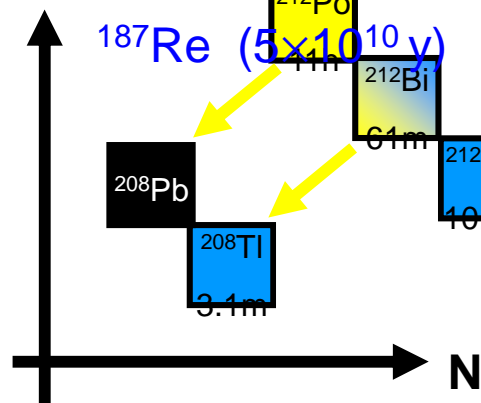
$$A_N(t) = \lambda_N \sum_{i=1}^N C_i e^{-\lambda_i t}$$

$$C'_m = \frac{\prod_{i=1}^N \lambda_i}{\prod_{i \neq m=1}^N (\lambda_i - \lambda_m)} = \frac{\lambda_1 \lambda_2 \lambda_3 \dots \lambda_{N-1} \lambda_N}{(\lambda_1 - \lambda_m) (\lambda_2 - \lambda_m) \dots (\lambda_N - \lambda_m)}$$

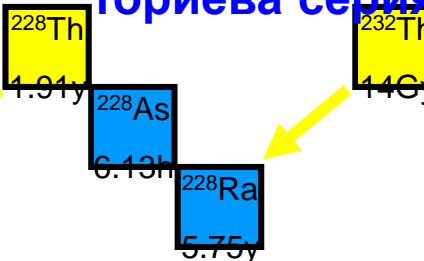
Естествена радиоактивност



Други



4n – серия
ториева серия



В непрекъснато производство



Радиоактивно датиране

Проба - изградена от **радиоактивен родител**, атомите на родителя и дъщерните продукти **не напускат пробата**, в момента $t=t_0$ в има само атоми на родителя и няма външен принос!

$$\begin{aligned}
 & t = t_0 & P \rightarrow D & t = t_1 \\
 & N_P(t_0) & & N_P(t_1) + N_D(t_1) \\
 & N_P(t_0) = N_P(t_1) + N_D(t_1) & & \\
 & N_P(t_1) = N_p(t_0) e^{-\lambda(t_1-t_0)} & & \\
 \Delta t \equiv t_1 - t_0 & = \frac{1}{\lambda} \ln \frac{N_P(t_0)}{N_P(t_1)} & = \frac{1}{\lambda} \ln \left(1 + \frac{N_D(t_1)}{N_P(t_1)} \right)
 \end{aligned}$$

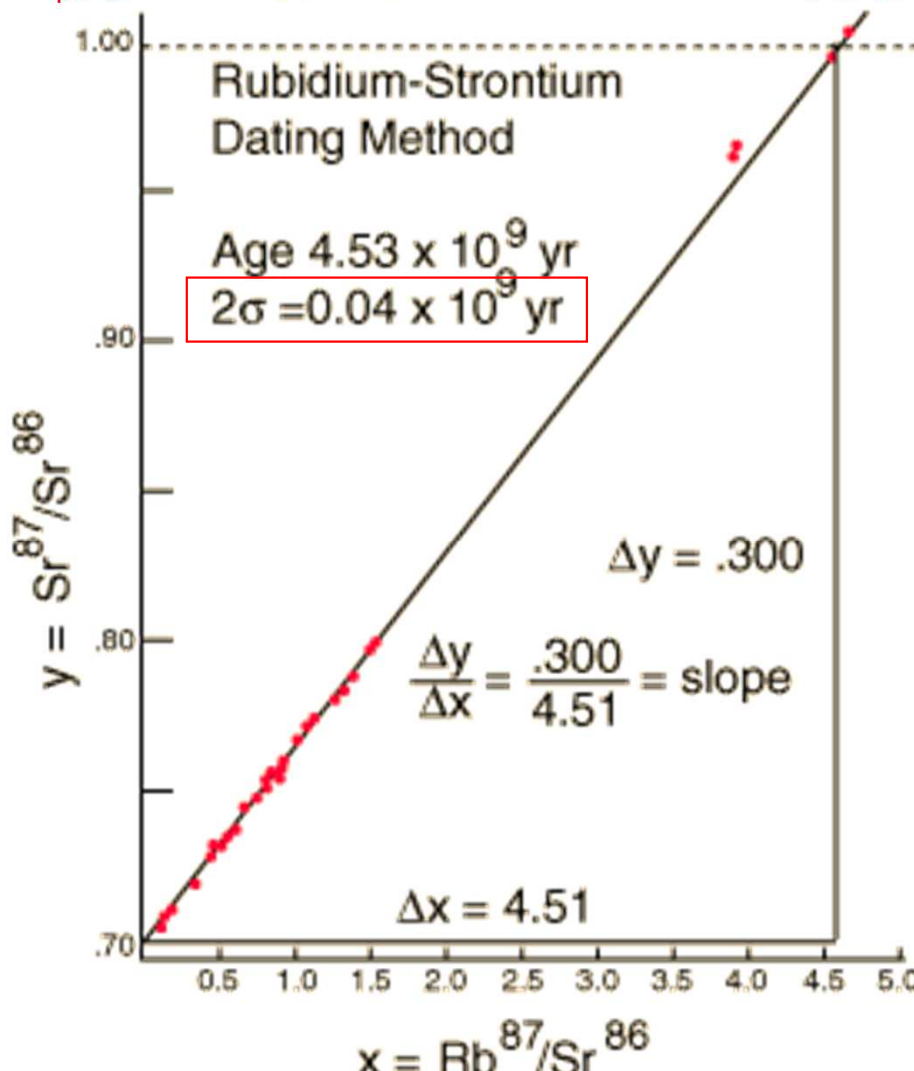
Проба - изградена от **радиоактивен родител**, атомите на родителя и дъщерните продукти **не напускат пробата**, в момента $t=t_0$ в има атоми на родителя и “дъщерята” и **няма външен принос!**

$$\begin{aligned}
 & t = t_0 & P \rightarrow D & t = t_1 \\
 & N_P(t_0) + N_D(t_0) & & N_P(t_1) + N_D(t_1) \\
 & N_{D'}(t_0) = D' - \text{стабилен изотоп на } D, \text{ който не участва в разпада} & = N_{D'}(t_1) \\
 & N_P(t_0) + N_D(t_0) = N_P(t_1) + N_D(t_1) & & \\
 & N_{D'}(t_0) = N_{D'}(t_1) & & \\
 \frac{N_D(t_1)}{N_{D'}(t_1)} & = \frac{N_P(t_1)}{N_{D'}(t_1)} [e^{-\lambda \Delta t} - 1] + \frac{N_D(t_0)}{N_{D'}(t_0)}
 \end{aligned}$$

Physics 2012– 5(33)

Възраст на планетата

Всички минерали, които са се образували заедно, трябва да имат **една и съща възраст и еднакво изотопно отношение $N_D(t_0)/N_{D'}(t_0)$** въпреки че за всеки от тях $N_p(t_0)$ може да е различно → $N_p(t_1)/N_{D'}(t_1)$ и $N_D(t_1)/N_{D'}(t_1)$ ще са различни, но:



$$y \downarrow \quad x \downarrow \quad a = \text{const} \quad b = \text{const}$$

$$\frac{N_D(t_1)}{N_{D'}(t_1)} = \frac{N_p(t_1)}{N_{D'}(t_1)} [e^{-\lambda \Delta t} - 1] + \frac{N_D(t_0)}{N_{D'}(t_0)}$$

$$y = ax + b$$



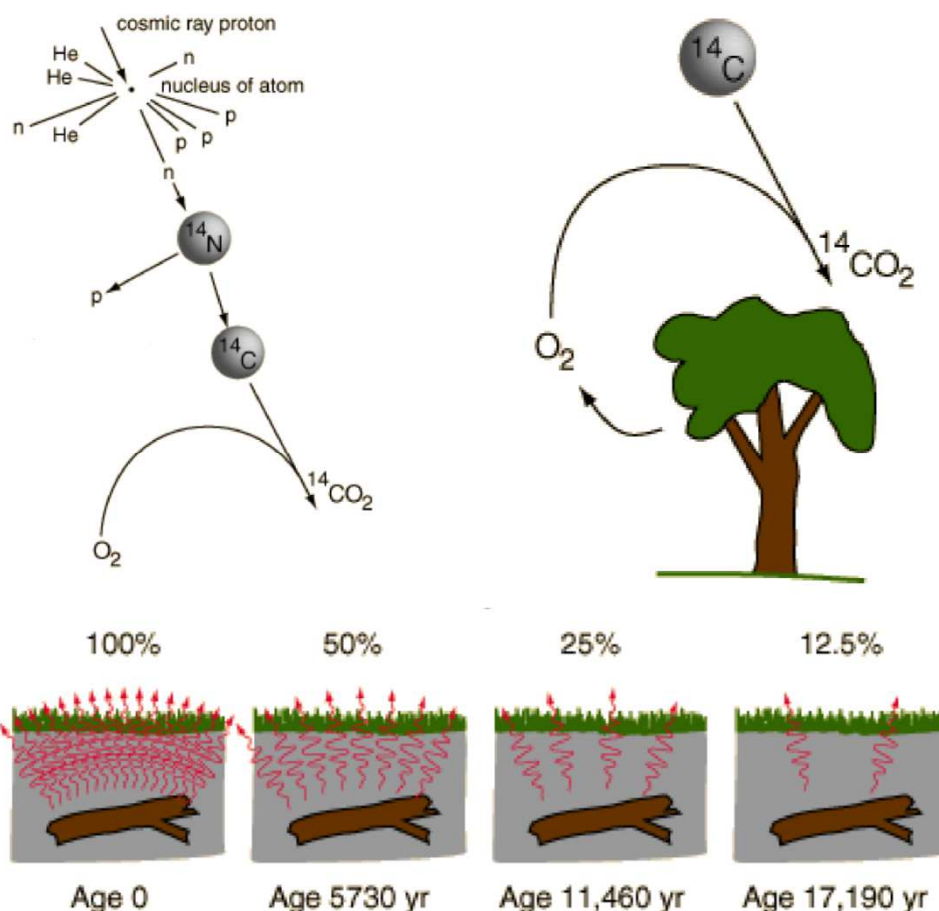
^{86}Sr – стабилен

$$y = \frac{^{87}\text{Sr}}{^{86}\text{Sr}} \quad x = \frac{^{87}\text{Rb}}{^{86}\text{Sr}}$$

Други



Въглероден метод за датиране на органични преби



константен добив

$$\text{Равновесие: } \frac{^{14}\text{C}}{^{12}\text{C}} \approx 1.3 \times 10^{-12}$$

1 атом ^{14}C на 10^{12} атома ^{12}C

$1\text{g (C)} \Leftrightarrow 6.0 \times 10^{23}$ атома

$\Leftrightarrow 6 \times 10^{12} \text{ }^{14}\text{C}$
специфична активност

$A(^{14}\text{C/g}) \approx 23$ разпада/min

Проблеми

- трудно приложим за времена по-дълги от $10\text{T}_{1/2}$ (сепаратори до 10^5 y);
- неприложим за преби от последните 100 години поради интензивното използване на органични горива и ядрените опити в атмосферата

α -разпад

Основни закономерности

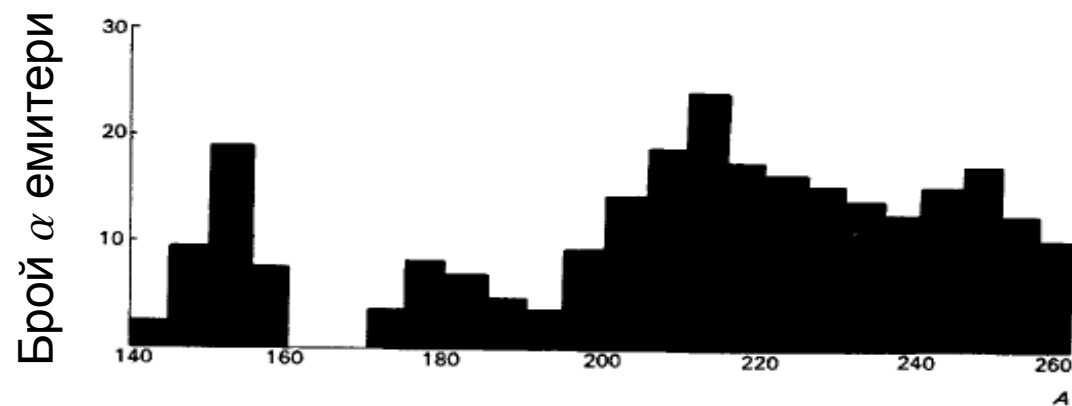


$\alpha \equiv {}^4_2 \text{He}_2$ (1909 – Rutherford)

Кулонов ефект

тежки ядра

$$B(N, Z) = a_{vol} A - a_{surf} A^{2/3} - a_c Z (Z-1) A^{-1/3} - a_{sym} \frac{(A - 2Z)^2}{A} + \delta$$



Най-леките α емитери

${}^{105,106}\text{Te}$, ${}^{144}\text{Nd}$

спрости ефекти
основно $A > 170$

Спонтанен процес – отделяне на енергия (кинетична) без външно въздействие!

α -разпада минимизира вътрешната енергията на дъщерната с-ма:

$$E_i - E_f > 0$$

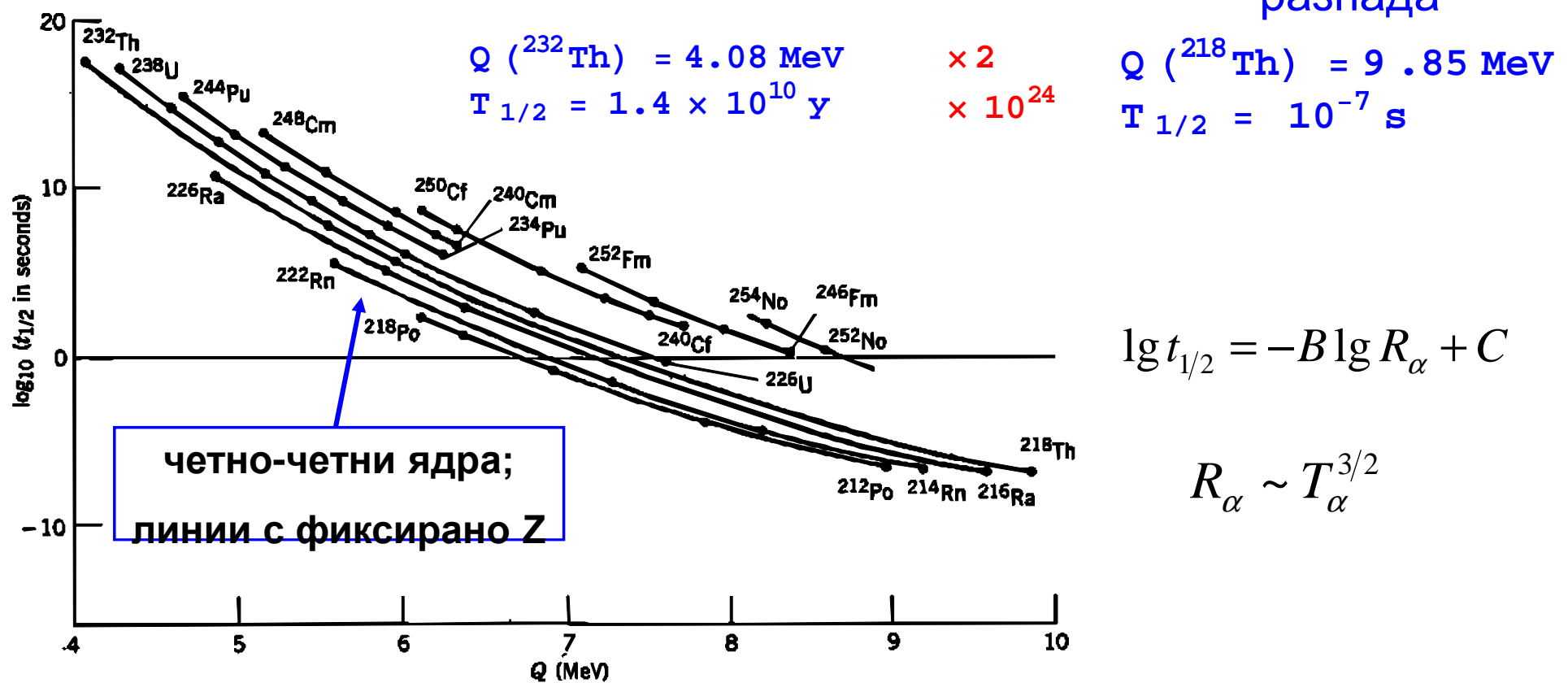
Закон на Geiger-Nuttall

Големи Q фактори \Rightarrow кратки времена на живот!

Голям Q
фактор \Rightarrow

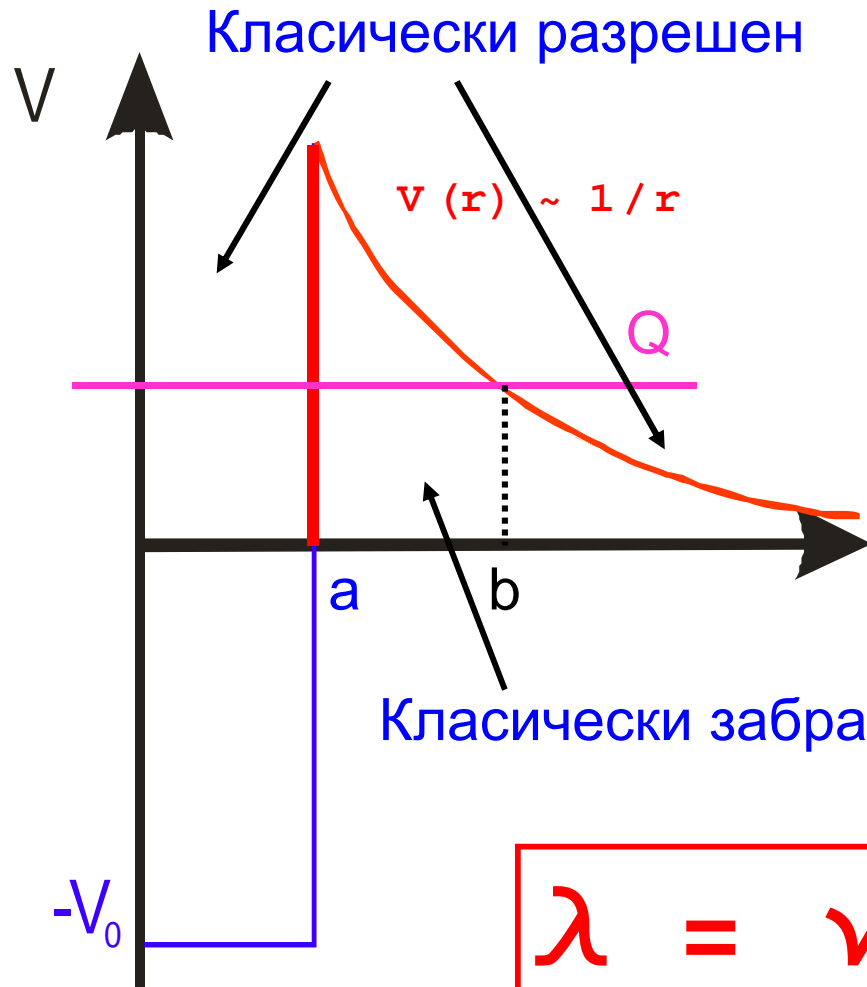
Голяма разлика в $B(Z, N)$ за
родителското и дъщерното \Rightarrow
ядро

Родителското
ядро е по-
неустабилно, т.е.
по-лесно се
разпада



Квантово описание на α -разпада

Тунелиране през ядрения кулонов бариер (Gamow, Gurney, Condon 1928)



Приближения

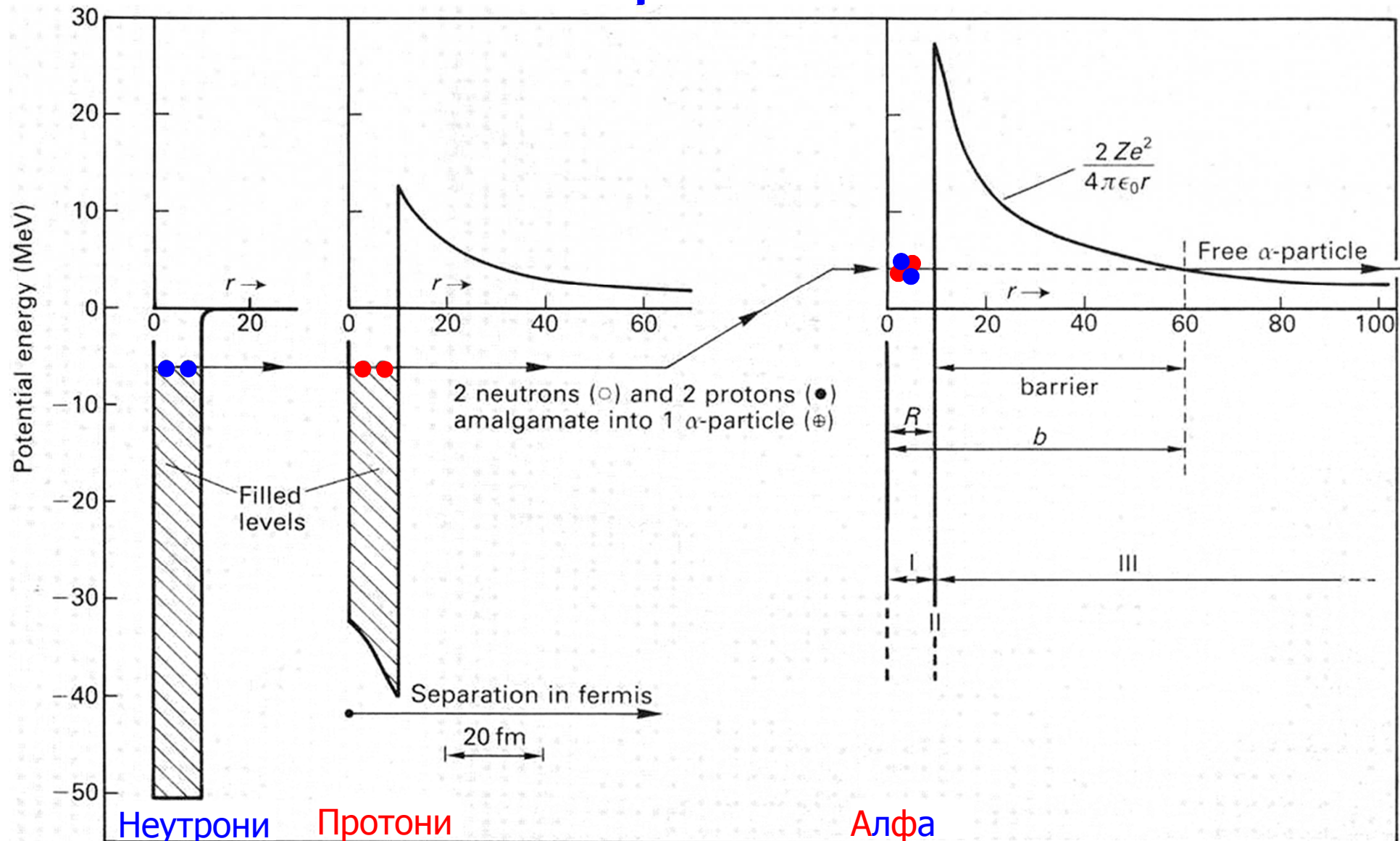
- α частицата се формира в ядрото
- За $r < a$ само ядрен потенциал – сферично симетрична правоъгълна яма с широчина a
- За $r > a$ Кулонов потенциал
- енергията на α -частицата е равна на Q фактора на разпада

$$\lambda = \gamma T$$

γ – честота на ударите с бариера

T – прозрачност на бариера

α -разпад



Централен потенциал

$$\psi(r, \theta, \phi) = R(r) Y(\theta, \phi)$$

$$-\frac{\hbar^2}{2m} \left(\frac{d^2 R}{dr^2} + \frac{2}{r} \frac{dR}{dr} \right) + [V(r) + \frac{l(l+1)\hbar^2}{2mr^2}] R = ER$$

Приближение: $l = 0 \Rightarrow$ едномерна задача за тунелиране



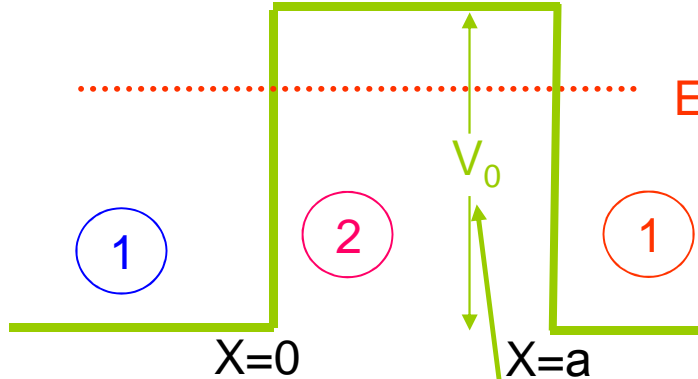
$$\psi_1(x) = A \cdot e^{ik_1 x} + B \cdot e^{-ik_1 x}, \quad k_1 = \sqrt{2mE/\hbar^2}$$

$$\psi_2(x) = C \cdot e^{k_2 x} + D \cdot e^{-k_2 x}, \quad k_2 = \sqrt{2m(V_0 - E)/\hbar^2}$$

$$\psi_3(x) = F \cdot e^{ik_3 x}, \quad k_3 = \sqrt{2mE/\hbar^2}$$

$$T = \frac{|F|^2}{|A|^2} = \frac{1}{1 + \frac{1}{4} \frac{V_0^2}{E(V_0 - E)} \sinh^2(k_2 a)}$$

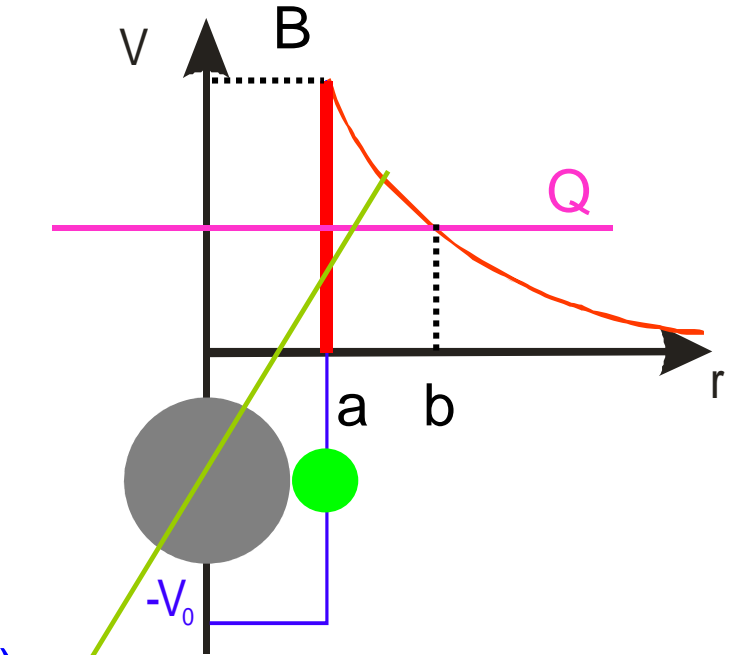
Моделиране на бариера



$$T = \frac{|\mathbf{F}|^2}{|\mathbf{A}|^2} = \frac{1}{1 + \frac{1}{4} \frac{v_0^2}{E(v_0 - E)} \sinh^2(k_2 a)}$$

- енергия на α -частицата – $E = Q (\approx 6 \text{ MeV})$
- маса на α -частицата – $m \sim 4 \text{ amu}$
- начало на потенциала – $a = R_Y + R_\alpha = \frac{1.2 (200^{1/3} + 4^{1/3})}{e^2 / (4 \pi \epsilon_0)} \approx 9 \text{ fm}$
- височина на бариера: $B = V_c(r=a) = \frac{1.44 \text{ MeV fm}}{9 \text{ fm}} \frac{2(88)}{9 \text{ fm}} \approx 28 \text{ MeV}$

Приближение: $V_0 = \frac{1}{2} (B + Q)$



- край на бариера: $\frac{e^2}{4\pi\epsilon_0} \frac{zZ'}{b} = Q$ $b = \frac{e^2}{4\pi\epsilon_0} \frac{zZ'}{Q} \approx 42 \text{ fm}$

Приближение:

$$\frac{b - a}{2} = \frac{42 - 9}{2} \text{ fm} \approx 16 \text{ fm}$$

- $k_2 = \sqrt{\frac{2m(0.5(B+Q) - Q)}{\hbar^2}} = \sqrt{\frac{(m/\hbar^2)(B-Q)}{}}$

$$\approx \sqrt{\frac{(4.0026 \times 931.5 \text{ MeV}) / (197 \text{ MeV fm})^2}{}} 22 \text{ MeV} = 1.45 \text{ fm}^{-1}$$

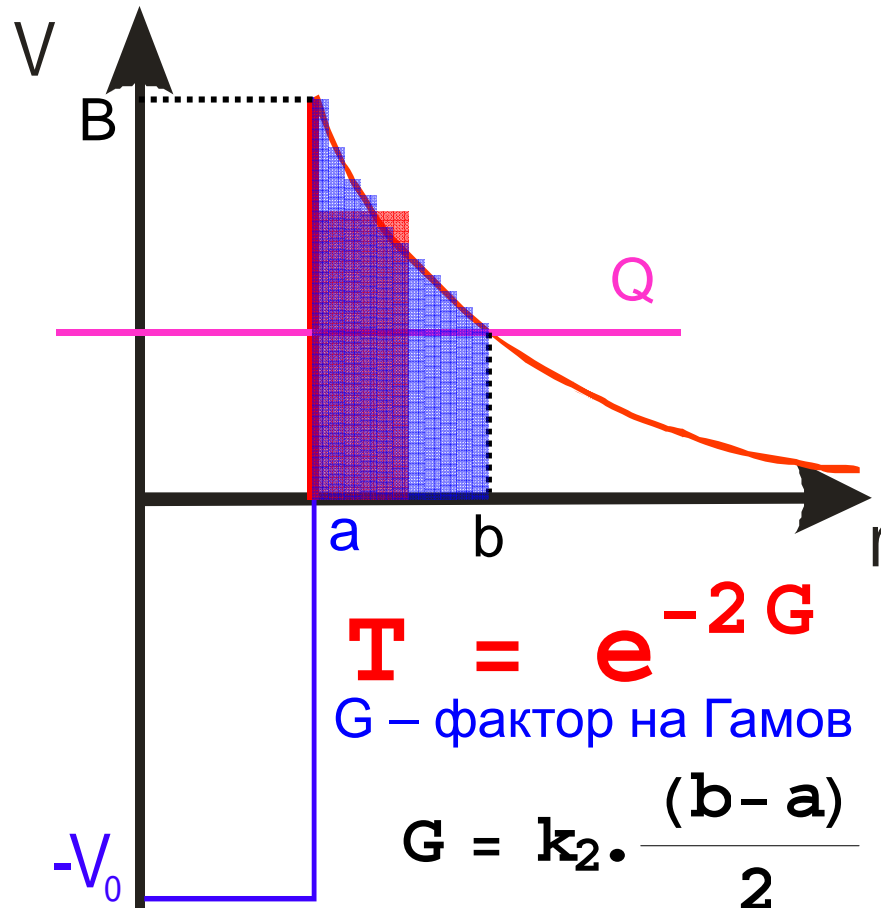
$$k_2 \cdot \frac{b-a}{2} \gg 1 \quad \sinh\left(k_2 \cdot \frac{b-a}{2}\right) \approx \frac{e^{k_2 \cdot 1/2(b-a)}}{2}$$

$$T \approx \frac{1}{1 + \frac{e^{k_2 \cdot (b-a)}}{4}} \approx e^{-2 \cdot k_2 \cdot \frac{(b-a)}{2}} = 1.7 \times 10^{-21}$$

$$T(Q=6 \text{ MeV}) = 1.7 \times 10^{-21} \quad \longleftrightarrow \quad T(Q=5 \text{ MeV}) = 7 \times 10^{-28}$$

$$Q = 5 \text{ MeV}$$

$$b = \frac{e^2}{4\pi\epsilon_0} \frac{zZ'}{Q} \approx 51 \text{ fm} \quad k_2 = \sqrt{\frac{(m/\hbar^2)(B-Q)}{}} = 1.49 \text{ fm}^{-1} \quad 2012-5(43)$$



$$T_i = \exp \left(-2 \Delta r_i \sqrt{\frac{2m}{\hbar^2}} (V(r) - Q) \right)$$

$$G = \sqrt{\frac{2m}{\hbar^2}} \int_a^b [V(r) - Q]^{1/2} dr$$

$$G = \sqrt{\frac{2m}{Q\hbar^2}} \frac{zZ' e^2}{4\pi\epsilon_0} \left[\frac{\pi}{2} - 2\sqrt{x} \right]$$

- приемаме, че α -частицата се формира вътре в родителското ядро и се движи независимо в полето на дъщерното ядро, т.е. системата е “дъщерно ядро + α ”
- приемаме, че цялата освободена енергия се отнася от α -частицата
- моделираме Кулоновия потенциал като стъпков със височина $(B+Q)/2$ и широчина $(a-b)/2$

$$T = T_1 \times T_2 \times T_3 \times \dots \times T_n$$

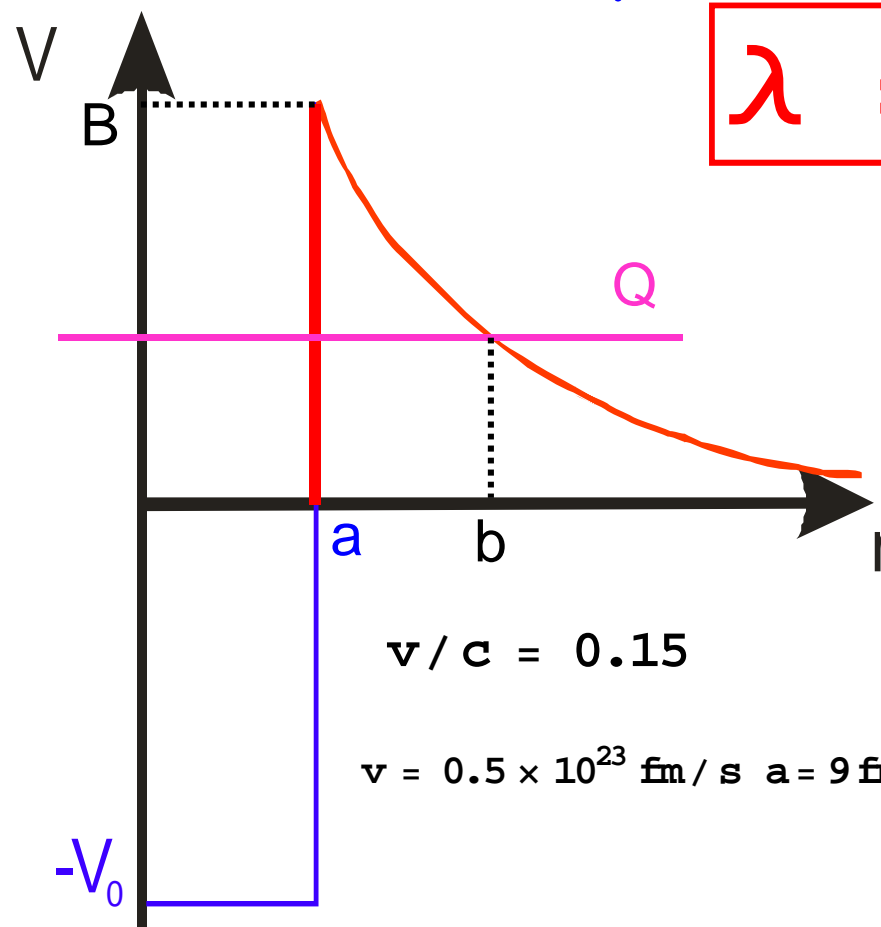
$$T = \exp \left(-2 \sum_{i=1}^n \Delta r_i \sqrt{\frac{2m}{\hbar^2}} (V(r) - Q) \right)$$

$$G = \sqrt{\frac{2m}{Q\hbar^2}} \frac{zZ' e^2}{4\pi\epsilon_0} [\arccos(\sqrt{x}) - \sqrt{x(1-x)}]$$

$$x = a/b = Q/B \ll 1$$

Modern Physics 2012– 5(44)

Вероятност за преход



$$\lambda = \sqrt{T}$$

$$Q - V_0 = \frac{mv^2}{2} \quad v - \text{скорост на а-частичата}$$

вътре в ядрото

$$v_0 = -35 \text{ MeV}, \quad Q = 5 \text{ MeV}$$

$$80 \text{ MeV} = 3728 \text{ MeV} \left(\frac{v}{c}\right)^2$$

$$v/c = 0.15$$

$$v = 0.5 \times 10^{23} \text{ fm/s} \quad a = 9 \text{ fm}$$

$$\nu = \frac{0.5 \times 10^{23} \text{ fm/s}}{9 \text{ fm}} \approx 6 \times 10^{21} \text{ s}^{-1}$$

$$T(Q = 5 \text{ MeV}) = 7 \times 10^{-28} \quad \lambda(Q = 5 \text{ MeV}) = 4.7 \times 10^{-7} \text{ s}^{-1}$$

$$t_{1/2} = 0.693 / \lambda = 1.7 \times 10^6 \text{ s}$$

$$T(Q = 6 \text{ MeV}) = 1.7 \times 10^{-21} \quad \lambda(Q = 6 \text{ MeV}) = 10 \text{ s}^{-1}$$

$$t_{1/2} = 0.693 / \lambda = 70 \text{ ms}$$

Резултати

$t_{1/2} = 0.693 \frac{a}{c} \sqrt{\frac{mc^2}{2(v_0 + Q)}}$	$\text{Exp} \left\{ 2 \sqrt{\frac{2mc^2}{(\hbar c)^2 Q}} \frac{zZ \cdot e^2}{4\pi\epsilon_0} \left(\frac{\pi}{2} - 2 \sqrt{\frac{Q}{B}} \right) \right\}$
^{220}Th	$Q=8.95 \text{ MeV}$
^{222}Th	$Q=8.13 \text{ MeV}$
^{224}Th	$Q=7.31 \text{ MeV}$
^{226}Th	$Q=6.45 \text{ MeV}$
^{228}Th	$Q=5.52 \text{ MeV}$
^{230}Th	$Q=4.77 \text{ MeV}$
^{232}Th	$Q=4.08 \text{ MeV}$
	$t_{1/2}^{\text{exp}} = 10^{-5} \text{ s}$
	$t_{1/2}^{\text{exp}} = 2.8 \cdot 10^{-3} \text{ s}$
	$t_{1/2}^{\text{exp}} = 1.04 \text{ s}$
	$t_{1/2}^{\text{exp}} = 1845 \text{ s}$
	$t_{1/2}^{\text{exp}} = 6 \cdot 10^7 \text{ s}$
	$t_{1/2}^{\text{exp}} = 2.5 \cdot 10^{12} \text{ s}$
	$t_{1/2}^{\text{exp}} = 4.4 \cdot 10^{17} \text{ s}$
	$t_{1/2}^{\text{th}} = 3.3 \cdot 10^{-7}$
	$t_{1/2}^{\text{th}} = 6.3 \cdot 10^{-5}$
	$t_{1/2}^{\text{th}} = 3.3 \cdot 10^{-2}$
	$t_{1/2}^{\text{th}} = 6.0 \cdot 10^1$
	$t_{1/2}^{\text{th}} = 2.4 \cdot 10^6$
	$t_{1/2}^{\text{th}} = 1.0 \cdot 10^{11}$
	$t_{1/2}^{\text{th}} = 2.6 \cdot 10^{16}$

Причини за несъответствията:

- не отчетохме вероятността за формиране на α -частица
- не отчетохме възможността за различни състояния в началната и крайната с-ма
- не отчетохме влиянието на ъгловия момент
- приехме, че ядрото е сферично \rightarrow 4-5% промяна \Rightarrow фактор 5

β -разпад

β - минус

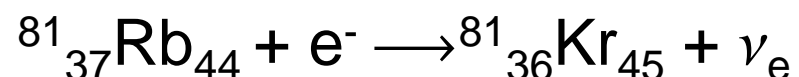
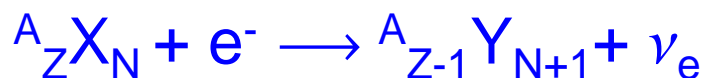
Видове

β - плюс



Pauli (1930) – неутрино – неутрална, много лека частица със спин 1/2, която отнася част от енергията и импулса на процеса

електронен захват



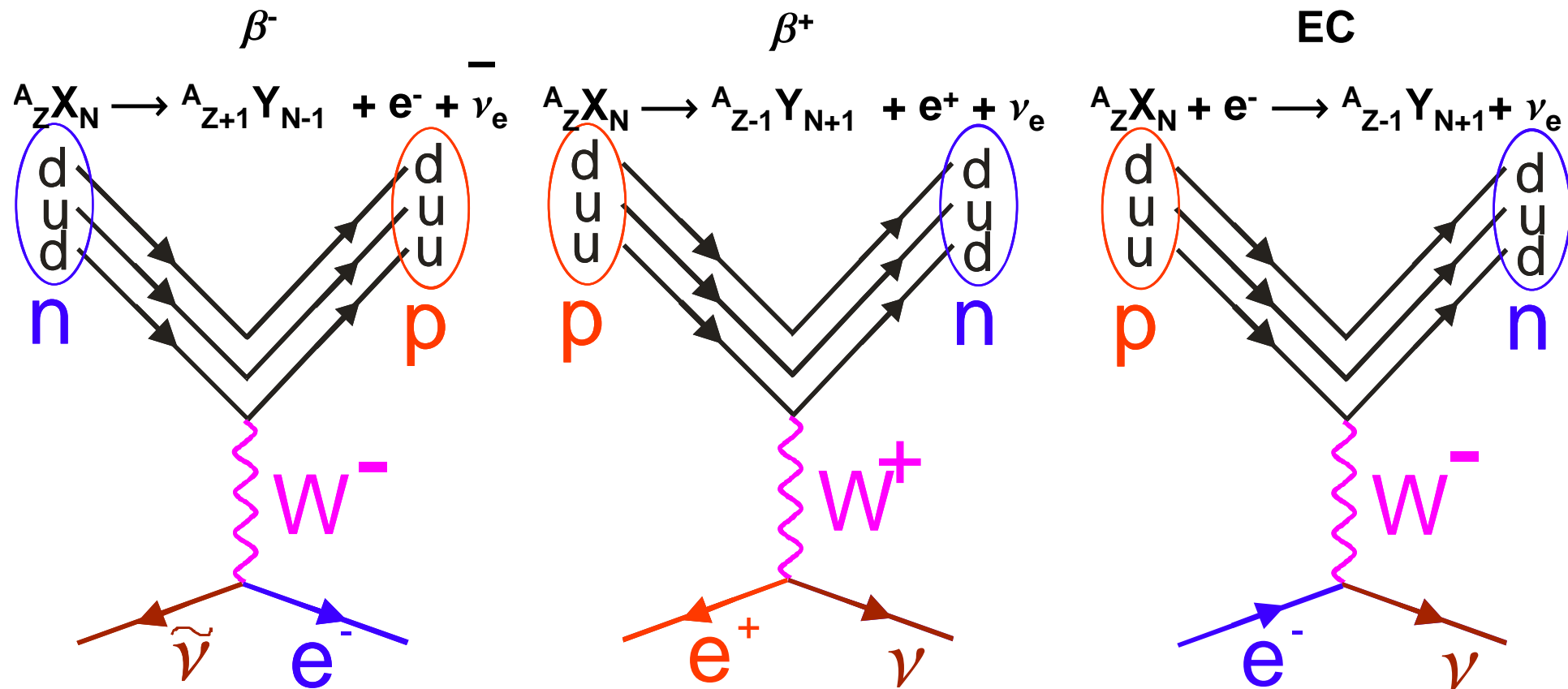
двоен β -разпад



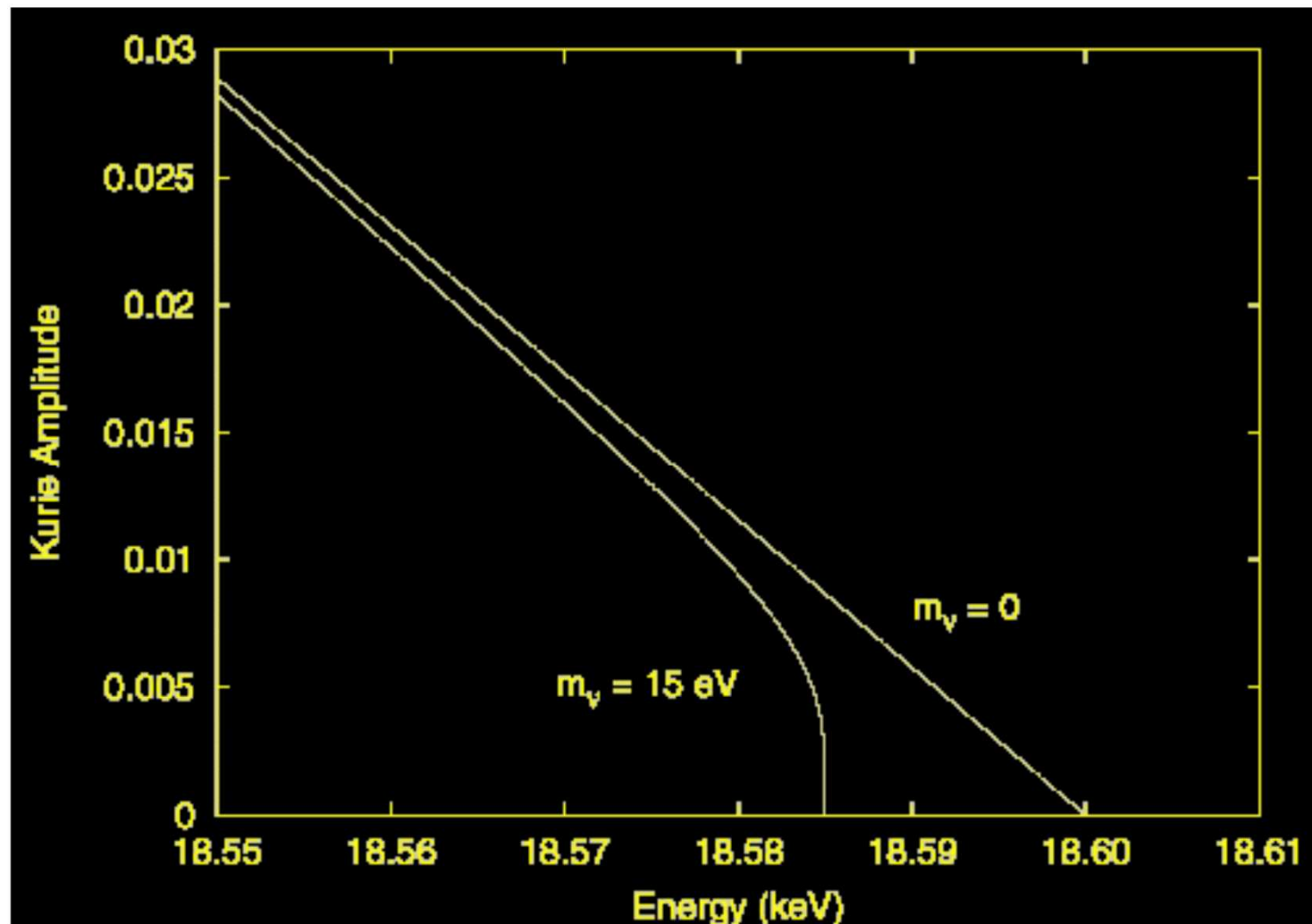
Modern Physics 2012– 5(48)

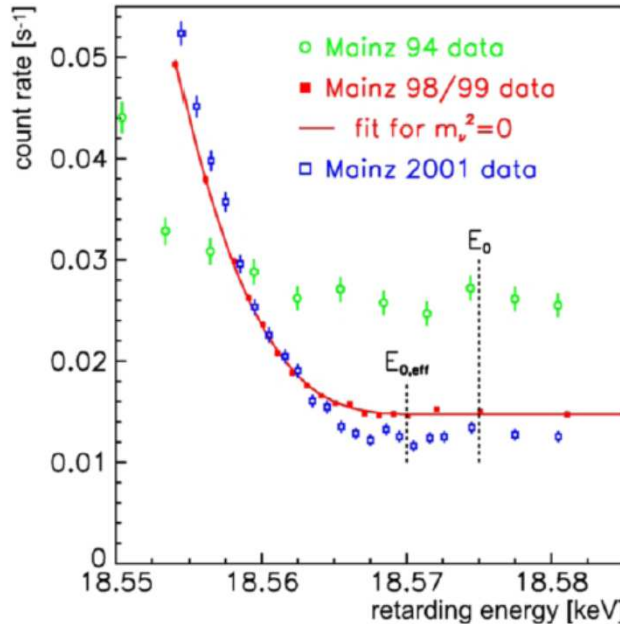
Идея за микроскопичното обяснение на β -разпада

Слабо ядрено взаимодействие – $W^{+,-}$ ($80.4 \text{ GeV}/c^2$), Z^0 ($91.2 \text{ GeV}/c^2$)



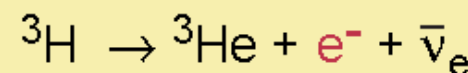
Маса на неутриното





2004 r. – Mainz - $m_\nu < 2.3 \text{ eV}$ (95% CL)

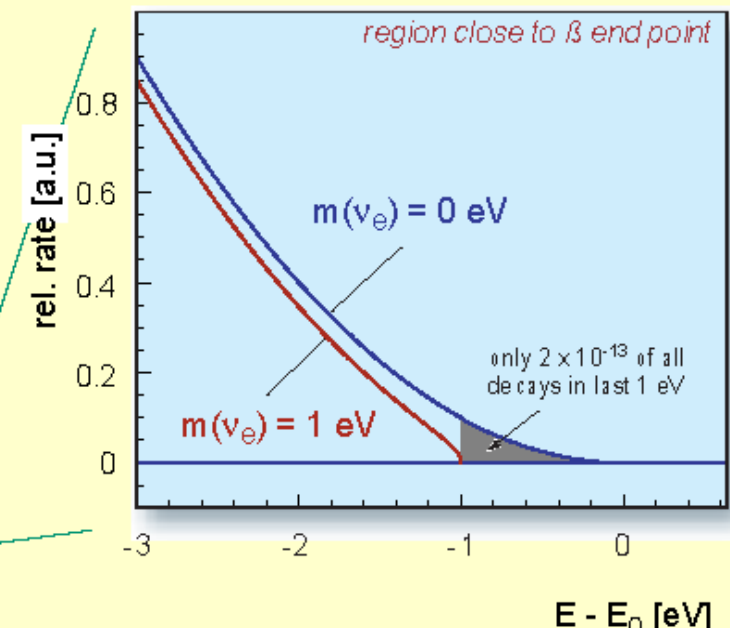
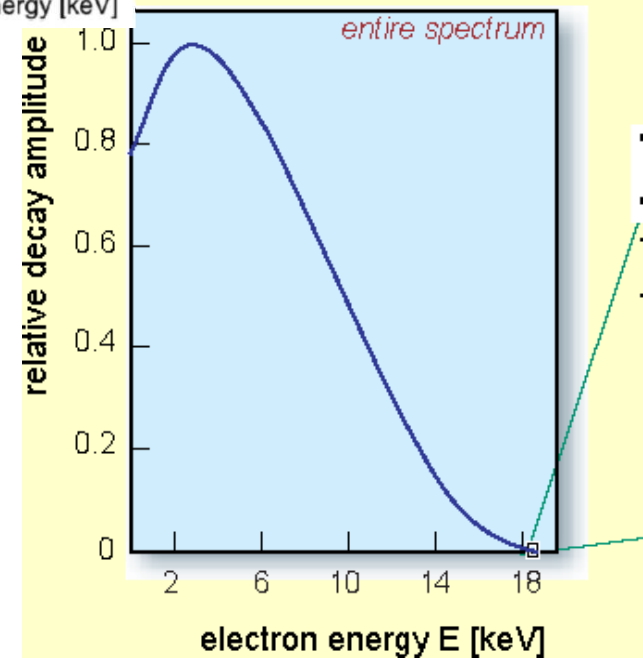
tritium β -decay and the neutrino rest mass



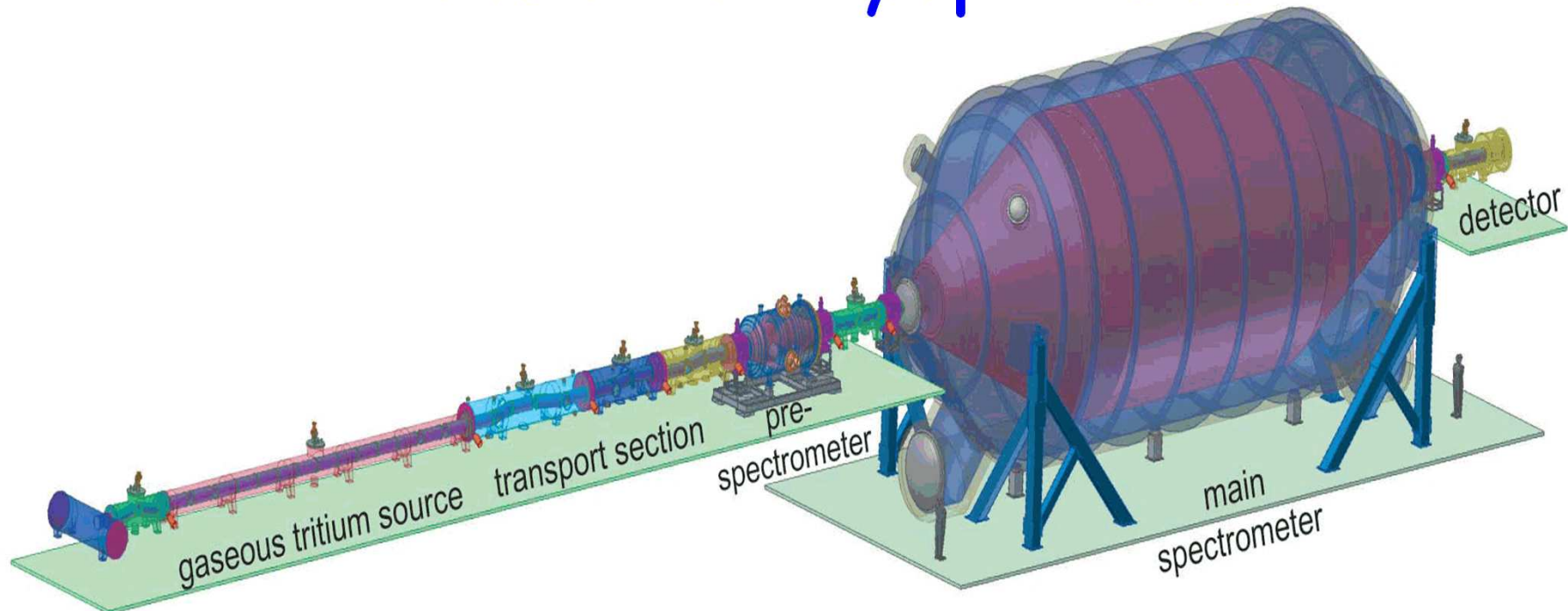
superallowed

half life : $t_{1/2} = 12.32 \text{ a}$

β end point energy : $E_0 = 18.57 \text{ keV}$



Маса на неутриното



Pre-spectrometer

diameter: 1.68m,

length: 3.38m

XHV conditions with a pressure of $< 10^{-11}$ mbar in both spectrometers.

Main spectrometer

inner diameter of the cylindrical section: 9.8m,
total length: 23.28m

inner surface: 650m²,

volume: 1400m³

KATRIN - Karlsruhe Tritium Neutrino Experiment

Modern Physics 2012– 5(52)

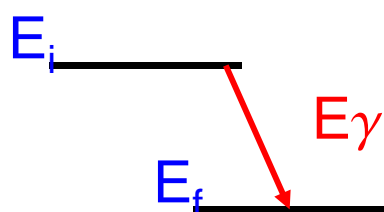


Modern Physics 2012– 5(53)



There is a slight problem of transportability from Deggendorf to Karlsruhe: The tank is too big for motorways, and the canal between the rivers Rhine and Danube has to be ruled out, too. Thus, instead of a journey of about 400 km, the spectrometer has to travel nearly 9000 km as indicated in the map.

γ -разпад



$$E_i = E_f + E_\gamma + T_R$$

$$0 = \vec{p}_R + \vec{p}_\gamma$$

$$T_R = \frac{\vec{p}_R^2}{2M}$$

$$p_R = p_\gamma \quad E_\gamma = c p_\gamma$$

$$\Delta E = E_i - E_f = E_\gamma + \frac{E_\gamma^2}{2Mc^2}$$

$$E_\gamma = Mc^2 \left[-1 \pm \left(1 + 2 \frac{\Delta E}{Mc^2} \right)^{1/2} \right]$$

$$\Delta E (\sim MeV) \ll Mc^2 (\sim A 10^3 MeV)$$

Естествената ширина на γ-линията $\Gamma = \hbar/\tau$
 $(\hbar = 6.58 \times 10^{-22} MeV.s; \tau \geq 10^{-13}s)$ е няколко порядъка
 по-малка → няма самопогъщане.
 Освен при ефекта на Mössbauer.

$$E_\gamma \approx \Delta E - \frac{(\Delta E)^2}{2 Mc^2}$$

$\sim 10^{-5} MeV$

Ядрено делене: ядрени реактори и експлозиви

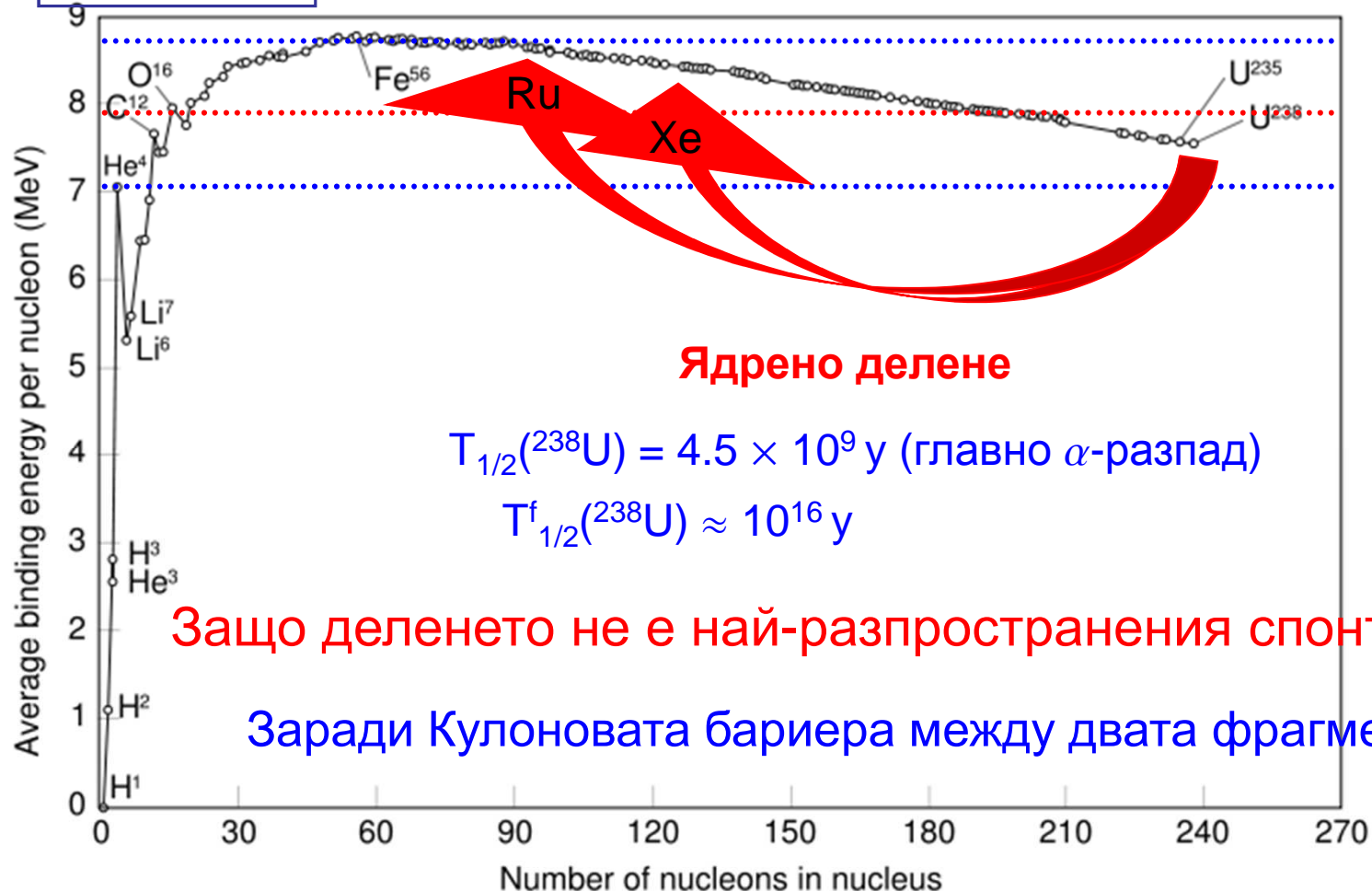
Защо ядрата се делят?

$$m(^A_Z X_N) = N m_n + Z m_p - \frac{1}{c^2} B(N, Z)$$

$$\Delta = (m - A) c^2$$



Pd - паладий



Защо ^{235}U се дели, а ^{238}U - не?



$$E_{\text{ex}} = [m(^{236}\text{U}^*) - m(^{236}\text{U})] c^2$$

$$m(^{236}\text{U}^*) = m(^{235}\text{U}) + m_n = (235.043924 \text{ u} + 1.008665 \text{ u}) = 236.052589 \text{ u}$$

$$E_{\text{ex}} = (236.052589 \text{ u} - 236.045563 \text{ u}) 931.494 \text{ MeV/u} = \boxed{6.5 \text{ MeV}}$$

Енергия на активация за ^{236}U $E_f(^{236}\text{U}) = 6.2 \text{ MeV}$



Дори неutronи с нулема кинетична енергия ще предизвикат делене.



$$E_{\text{ex}} = [m(^{239}\text{U}^*) - m(^{238}\text{U})] c^2$$

$$m(^{239}\text{U}^*) = m(^{238}\text{U}) + m_n = (238.050785 \text{ u} + 1.008665 \text{ u}) = 239.059450 \text{ u}$$

$$E_{\text{ex}} = (239.059450 \text{ u} - 239.054290 \text{ u}) 931.494 \text{ MeV/u} = \boxed{4.8 \text{ MeV}}$$

Енергия на активация за ^{239}U $E_f(^{239}\text{U}) = 6.6 \text{ MeV}$



Само неutronи с кинетична енергия, по-голяма от 1.8 MeV ще предизвикат делене.

Сдвояване

$$B(N, Z) = a_{\text{vol}} A - a_{\text{surf}} A^{2/3} - a_c Z (Z-1) A^{-1/3} - a_{\text{sym}} \frac{(A-2Z)^2}{A} + \delta$$

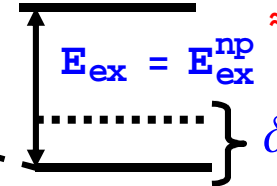
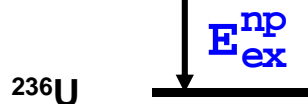
$$\delta = \begin{cases} +0.56 \text{ MeV} & \text{even - even} \\ 0 & \text{odd - even} \\ -0.56 \text{ MeV} & \text{odd - odd} \end{cases}$$



без сдвояване
 $^{236}\text{U}^* = ^{235}\text{U} + n$

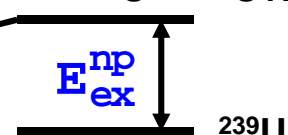
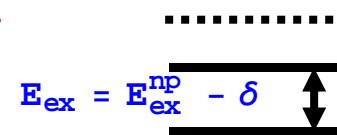
със сдвояване

$$E_{\text{ex}}(^{236}\text{U}^*) - E_{\text{ex}}(^{239}\text{U}^*) \approx 2\delta = 1.2 \text{ MeV}$$



Нечетните ядра имат
по-високо сечение за
делене!

със сдвояване
без сдвояване
 $^{239}\text{U}^* = ^{238}\text{U} + n$



^{238}U

δ
Modern Phys

Верижна реакция

k_{∞} - коефициент на размножаване ≡
промяната на броя топлинни неутрони между поколенията

$$k_{\infty} = N_{n+1} / N_n \quad k_{\infty} > 1$$

Колко бързи неутрона имаме в n+1-тото поколение?

$$\nu(^{235}\text{U}) = 2.42$$

Каква част η от забавените до топлинни
енергии неутрони ще предизвикат делене?

поглъщане на топлинни неутрони – (n, γ)

$$\eta = \nu \frac{\sigma_f}{\sigma_f + \sigma_a} \quad (\text{absorption})$$

$$\begin{aligned} \sigma_f (^{235}\text{U}) &= 584 \text{ б} \\ \sigma_a (^{235}\text{U}) &= 97 \text{ б} \\ \sigma_a (^{238}\text{U}) &= 2.75 \text{ б} \end{aligned}$$

$$\eta (^{235}\text{U}) = 2.08$$

Естествен уран $U = 0.72 \% (^{235}\text{U}) + 99.28 \% (^{238}\text{U})$

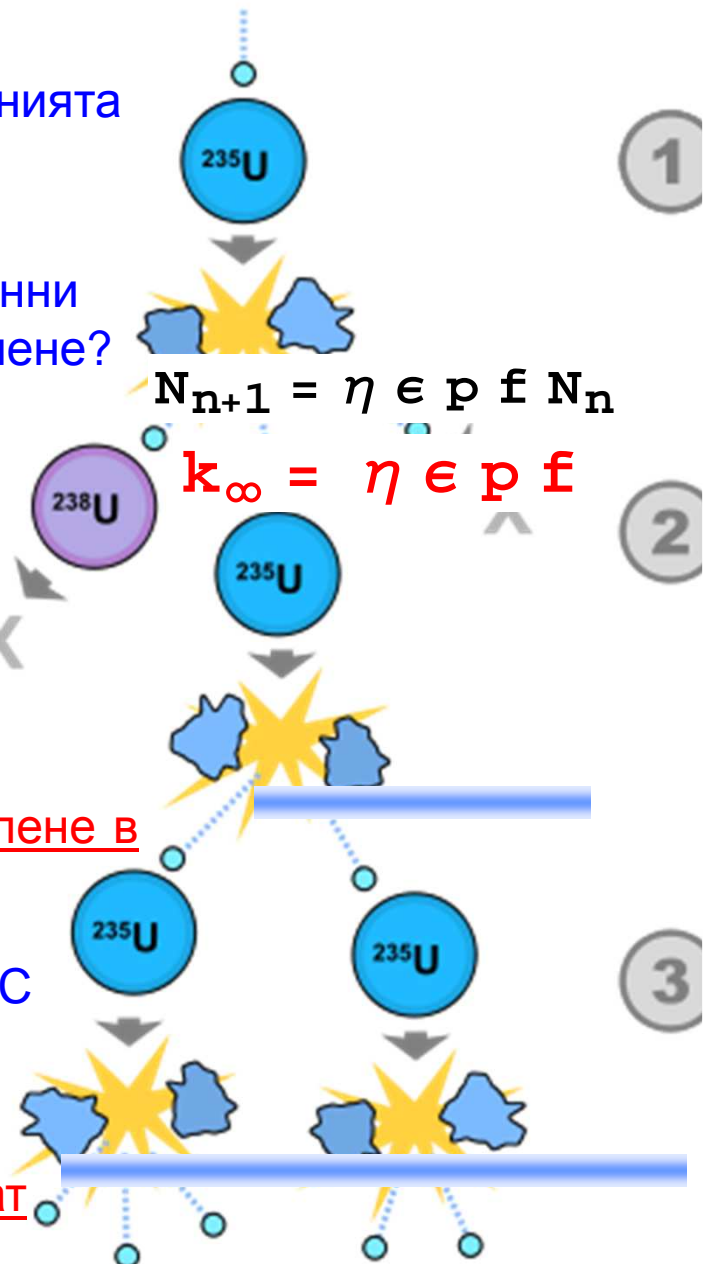
$$\left. \begin{aligned} \sigma_f &= 0.72 \% 584 \text{ б} + 99.28 \% 0 \text{ б} = 4.2 \text{ б} \\ \sigma_a &= 0.72 \% 97 \text{ б} + 99.28 \% 2.75 \text{ б} = 3.43 \text{ б} \end{aligned} \right\} \eta (3 \% ^{235}\text{U}) = 1.84$$

Каква част от бързите неутрони ще предизвикат делене в
 ^{238}U ? → нарастване на броя неутрони – $\epsilon = 1.03$

необходимост от забавяне - $\sigma \sim 1/v$ $\text{H}_2\text{O}, \text{D}_2\text{O}, ^{12}\text{C}$

Каква част от забавящите се неутрони ще избегнат
захват от резонанси? - $p = 0.9$

Каква част от термализираните неутрони ще избегнат
захват в поглътителя? - $f = 0.9$



Геометрични и времеви фактори

$$k_{\infty} = \eta \epsilon p f$$

отчита физическите особености на делящия се материал и забавителя

$k < 1$ – подкритична реакция

изтичане на неутрони $l_f, l_t \ll 1 (l_f + l_t)$ намалява с нарастване на повърхността $\sim R^{-2}$

$k_{\infty} - k \approx k (l_f + l_t)$ нараства с нарастване миграционния път на неutronите M
 $k_{\infty} - k \propto \frac{M^2}{R^2}$

$k = 1$ – критична реакция

$R_c = \frac{\pi M}{\sqrt{k_{\infty} - 1}}$ \leftarrow минимален размер на сфера, осигуряващ критичност

$$\tau = \tau_t + \tau_d$$

забавяне 10^{-6} s дифузия 10^{-3} s

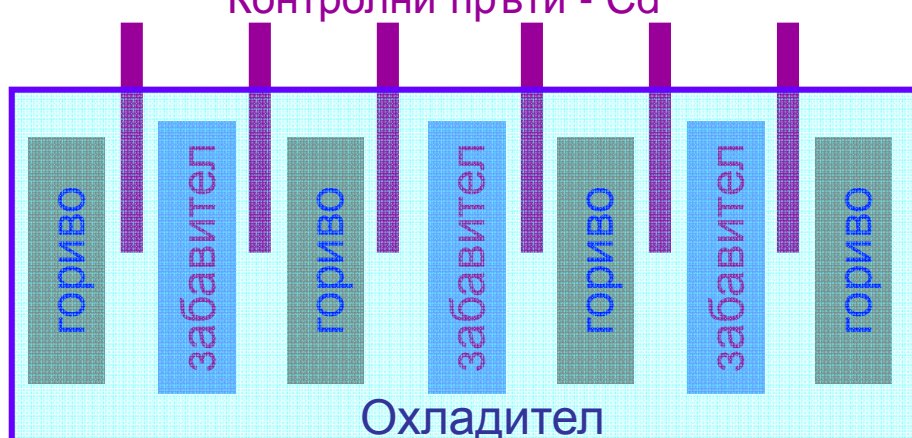
$$t \quad N \quad k \quad t+\tau \quad kN \quad t+2\tau \dots \quad k^2N \dots$$

$$dN = (kN - N) \frac{dt}{\tau}$$

$$N(t) = N_0 e^{\frac{(k-1)}{\tau} t}$$

$$k = 1.01 \quad \frac{(k-1)}{\tau} \approx 10 \text{ s}^{-1}$$

$$N(1 \text{ s}) / N_0 = e^{10}$$



Ядрени реактори: класификация по тип на неutronи

1) Реактори на топлинни неutronи (thermal reactors) – изискват забавител

- + могат да работят с естествен или слабо обогатен U
- голяма централна зона (core, ядро) → много радиоактивен отпадък

2) Реактори на междинни неutronи (1-100 keV) – главно експериментални

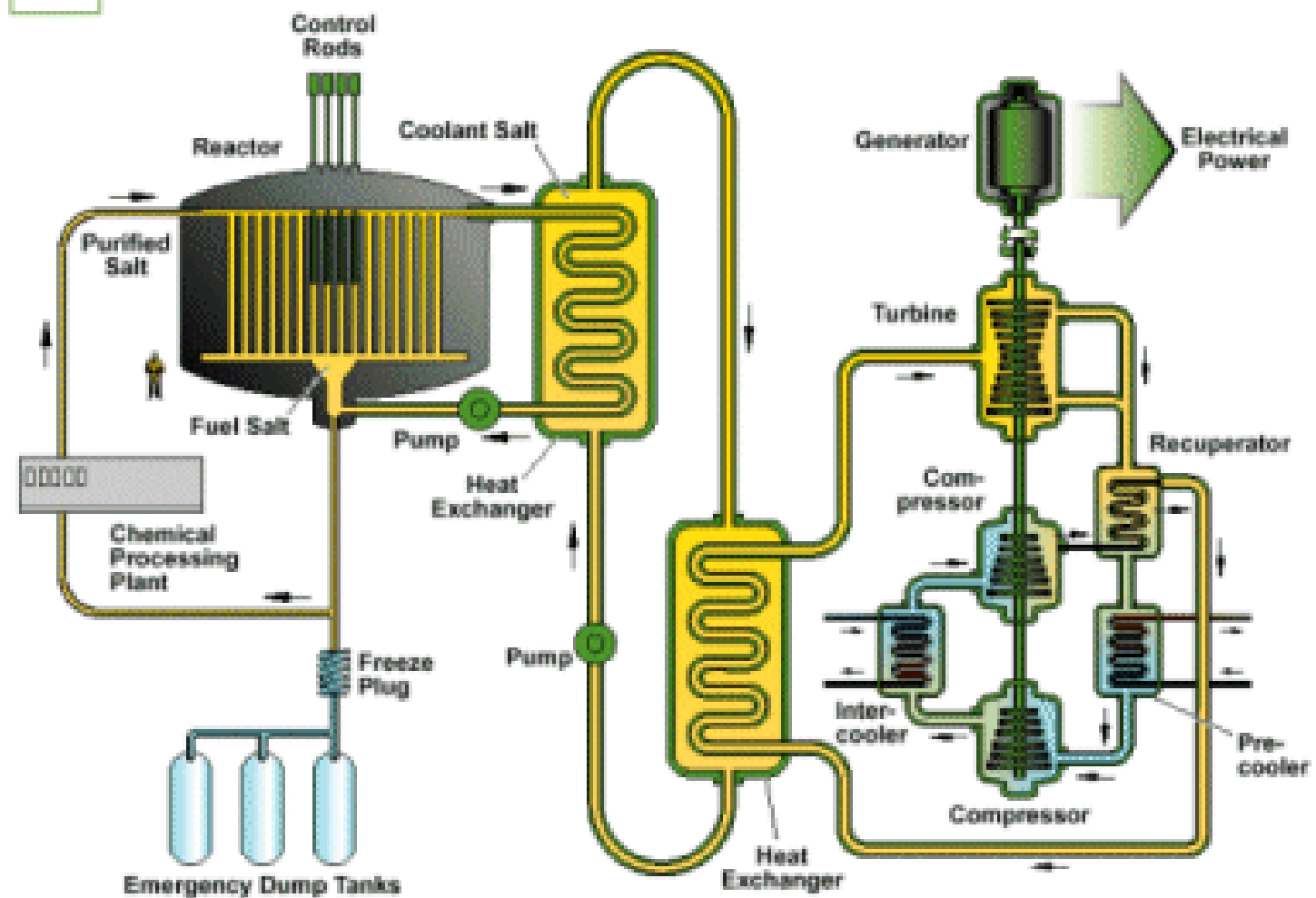
- + по-малко забавител → по-малък обем



Molten Salt Reactor

MSR

Гориво:
течно UF_4



Ядрени реактори

класификация по тип на неutronи

1) Реактори на топлинни неutronи (thermal reactors) – изискват забавител

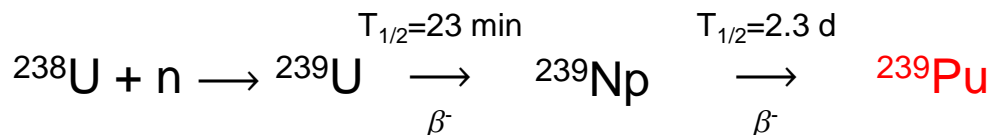
- + могат да работят с естествен или слабо обогатен U
- големи ядра → много радиоактивен отпадък

2) Реактори на междинни неutronи (1-100 keV) – главно експериментални

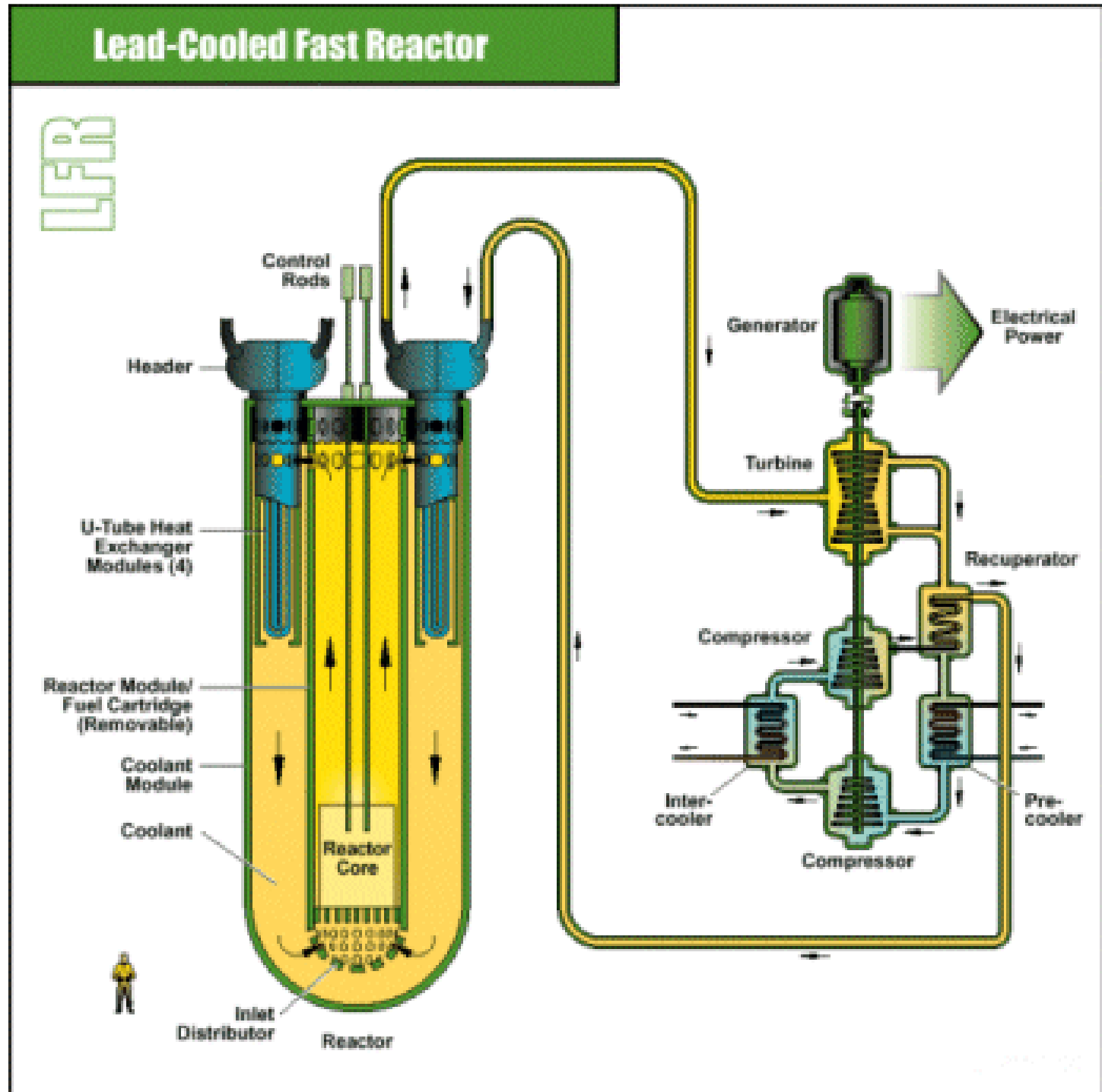
- + по-малко забавител → по-малък обем
- + възможност за използване на ^{232}Th $^{232}\text{Th} + n \rightarrow ^{233}\text{Th} \xrightarrow{\beta^-} ^{233}\text{Pa} \xrightarrow{\beta^-} ^{233}\text{U}$ $T_{1/2}=22\text{ m}$ $T_{1/2}=27\text{ d}$

3) Реактори на бързи неutronи (размножители, fast breeders)

- изискват високо обогатено гориво ($>20\%$ ^{239}Pu или ^{235}U) – не изискват забавител
- + компактни → удобни за двигатели
- + използват тежки материали за охладител → по-високи работни температури (550°C) → по-висока топлинна ефективност
- + по-рядко се нуждаят от презареждане
- + могат да произвеждат горивото си



20% PuO₂
80% UO₂



Ядрени реактори

класификация по тип на забавителя

- 1) Графитни реактори – ^{12}C
- 2) Реактори на лека вода (Light Water Reactors)
 - + евтина
 - + ясни химични свойства
 - не позволява използването на естествен U, поради голямото сечение за реакцията $n + p \rightarrow d + \gamma$ обогатено гориво ~3%
 - + отрицателна температурна обратна връзка
- 3) Реактори на тежка вода (Heavy Water Reactors) – D_2O
 - скъпа
 - + позволява използването на естествен U
- 4) Течни метали
- 5) Газове

Ядрени реактори

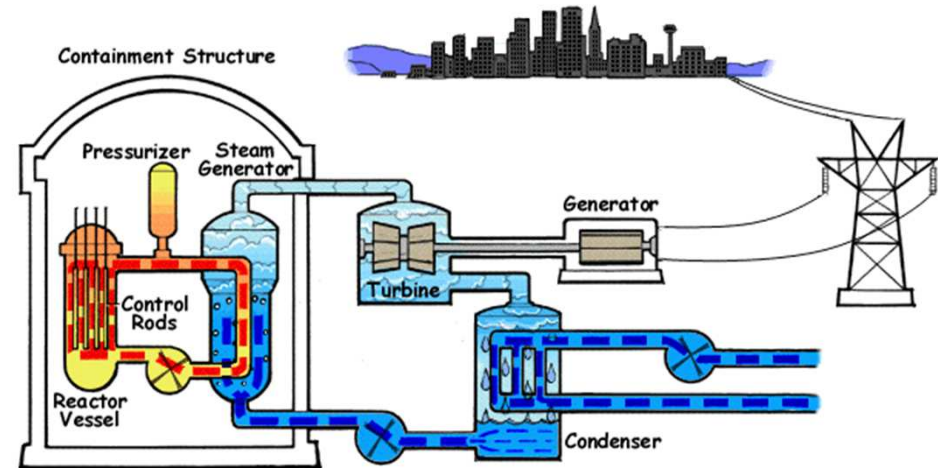
класификация по тип на охладителя

1) Вода под налягане (Pressurized Water Reactors)

+ константно налягане → по-добър контрол върху забавянето на н

+ електрическата част е отделена от ядрената

- работи при високо налягане (~100 ат.) и температура (~300°C);



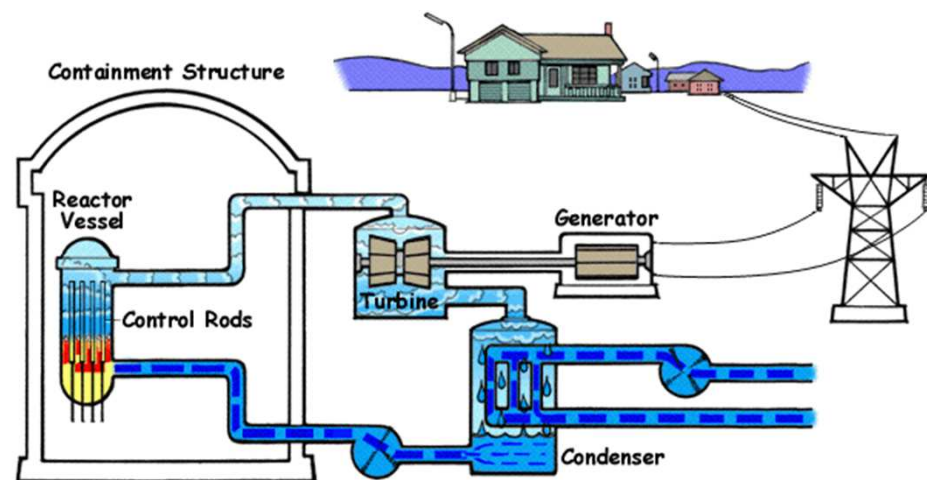
2) Кипяща вода (Boiling Water Reactors)

+ конструктивно по-прост

+ работи при по-ниски температури и налягания

- охладителя/забавителя се намира в две фази

- електрическата част не е отделена от ядрената



Ядрени експлозиви

^{238}U , ^{232}Th – могат да се делят, но само при определени условия; ^{235}U , ^{233}U и ^{239}Pu – се делят от всяка къв вид неutronи;

Критична маса – **минималната** маса за даден делящ се материал и конфигурация, при която настъпва **критична верижна реакция**.

- 1) Достатъчно материал за достигане на надкритична маса – използва се обогатяване $> 90\%$ (оръжейно качество на обогатения материал, weapon graded)
- 2) Иницииране на реакцията \rightarrow осигуряване на първоначалните неutronи

Po-Li смес: $^{218}\text{Po} \rightarrow ^{214}\text{Pb} + \alpha$

Малък линеен ускорител за р

Am-Be смес: $^{216}\text{Po} \rightarrow ^{212}\text{Pb} + \alpha$

(p,n) реакция

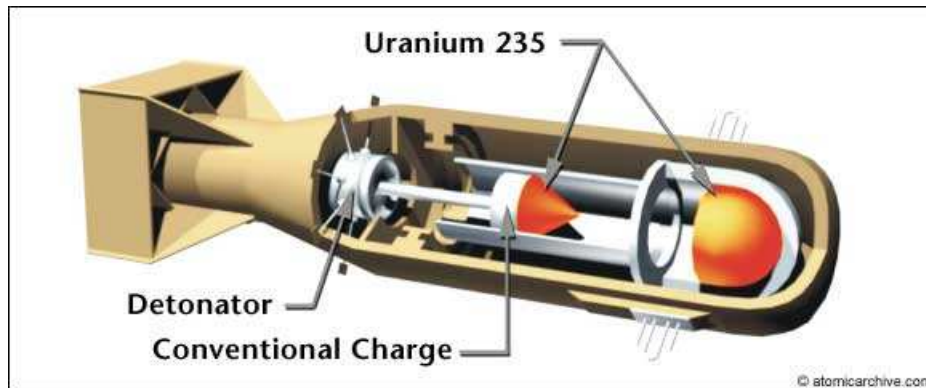


- 3) Удържане на конструкцията максимално дълго \rightarrow **максимално количество от делящия материал претърпява делене**

СИНХРОНИЗАЦИЯТА е важен елемент от конструкцията.

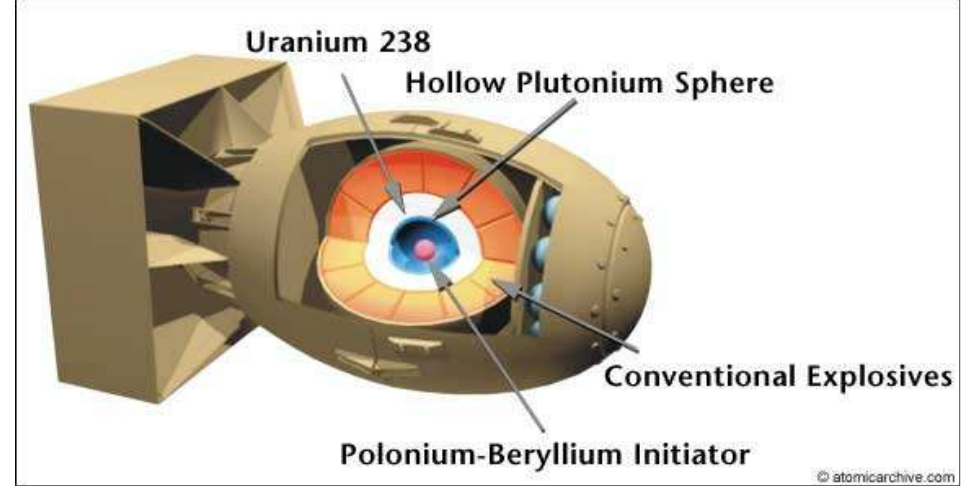
Ядрени експлозиви

Little boy -Хирошима



64 kg U (~ 80%)
~100% от чистата критична маса
4000 kg
само 1% от него е претърпял делене
13-16 kTNT

Fat Man - Нагазаки



6.2 kg Pu
~39 % от чистата критична маса
4630 kg
~20% от него е претърпял делене
21 kTNT

Термоядерн синтез

Термоядрен синтез в звездите (Слънцето)

Енергия, излъчвана от

Слънцето

$$L_{\odot} = 4\pi k I_{\odot} A^2$$

$$k \approx 1$$

$$A = 1 \text{ a.u.} = 1.497 \times 10^{11} \text{m}$$

$$I_{\odot} = 1.366 \text{ kW/m}^2$$

$$= 1.96 \text{ cal/min/cm}^2$$

$$L_{\odot} = 3.83 \times 10^{26} \text{ W}$$

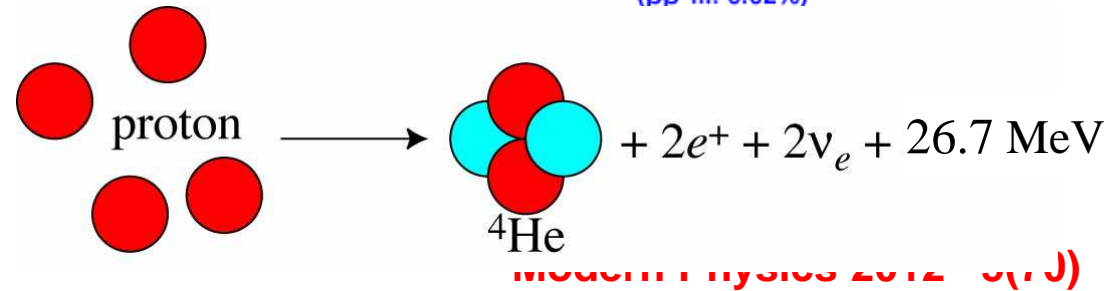
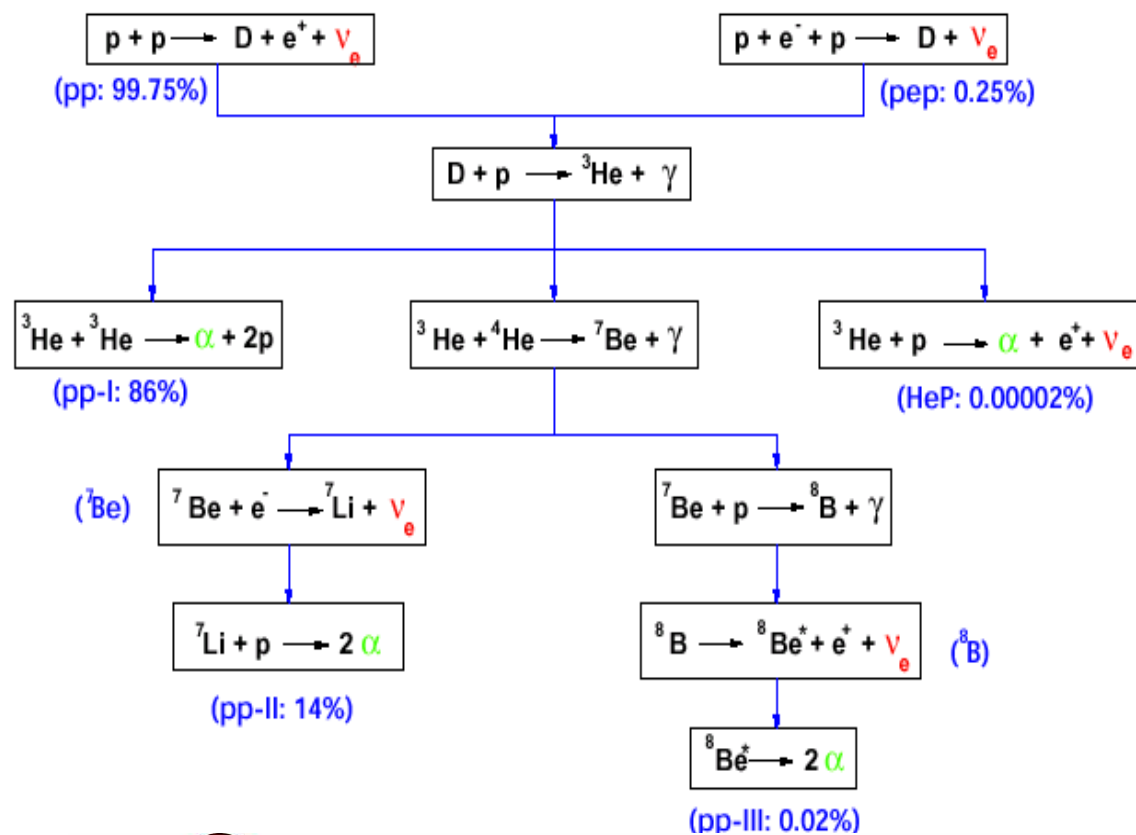
Слънчевата енергия,

която Земята получава, е средно

$$1.740 \times 10^{17} \text{ W} = 174 \text{ млн. GW.}$$

**Световното производство
на електроенергия е ~ 2 хил. GW...**

$$T_c \approx 15.7 \times 10^6 \text{ K} = 1.35 \text{ keV}$$

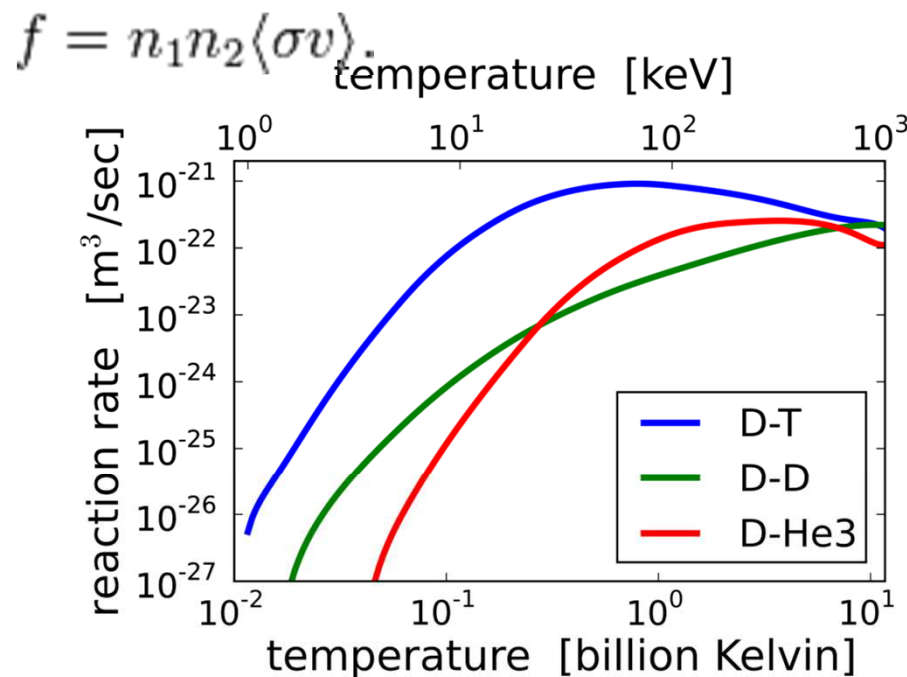


Управляем термоядрен синтез

Кулонова бариера

$$V_C = \frac{e^2}{4\pi\epsilon_0} \frac{Z_1 Z_2}{|R_1 + R_2|}$$

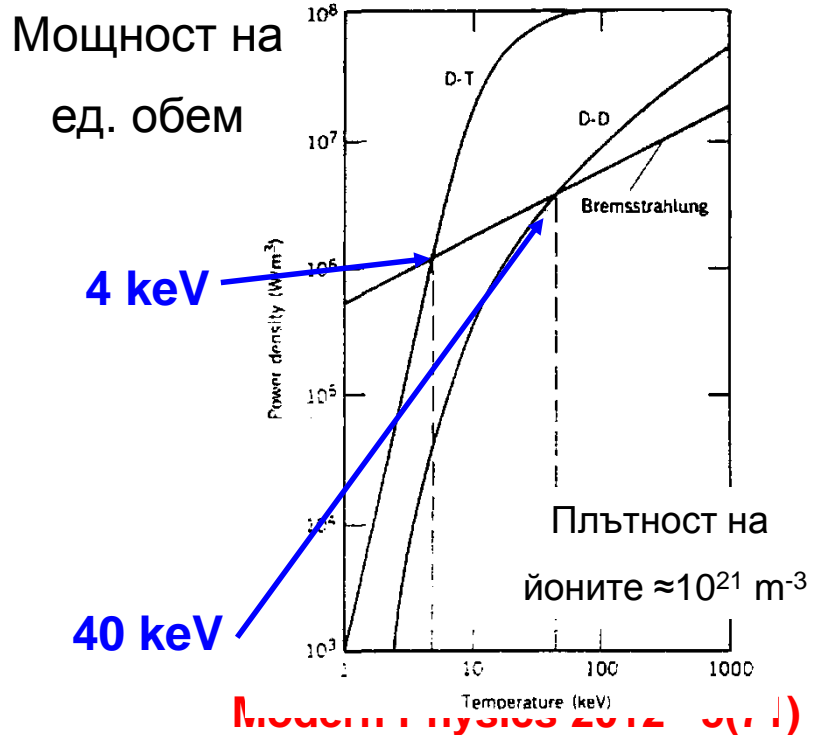
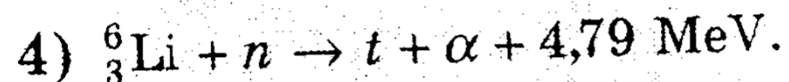
За реакция (3) $V_C \approx 0.4 \text{ MeV}$.



Критерии
на Лаусън:

$$n\tau > \frac{12kT}{\langle v\sigma \rangle Q}$$

- 1) $d + d \rightarrow {}_2^3\text{He} + n + 3,27 \text{ MeV}$,
 - 2) $d + d \rightarrow t + p + 4,03 \text{ MeV}$,
 - 3) $d + t \rightarrow n + \alpha + 17,59 \text{ MeV}$
- и за получаване на тритий



Термоядрена бомба

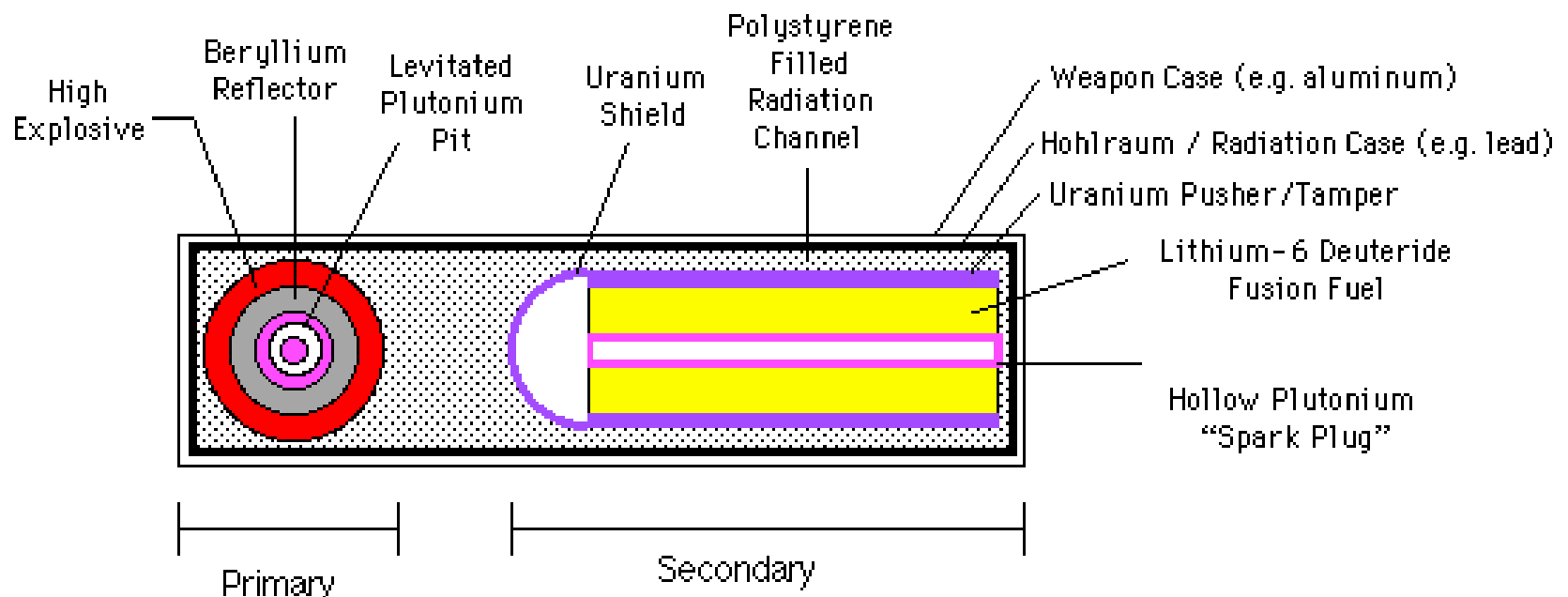
Най-често се използва LiD (обогатен с ${}^6\text{Li}$)
като експлозив.

За “капсул-детонатор” служи “обикновена”
ядрена бомба, осигуряваща $T \sim 3 \times 10^8 \text{ K}$.

Най-мощната взривена бомба
е била тристъпкова

с $50 \text{ Mt TNT} (=2.1 \times 10^{17} \text{ J})$.

Взривът трае $\sim 20\text{-}40 \text{ ns} \rightarrow$
развива се мощност $\sim 5 \times 10^{24} \text{ W}$!



Edward Teller- Stanislaw Ulam design (two-stage bomb)

Modern Physics 2012– 5(72)